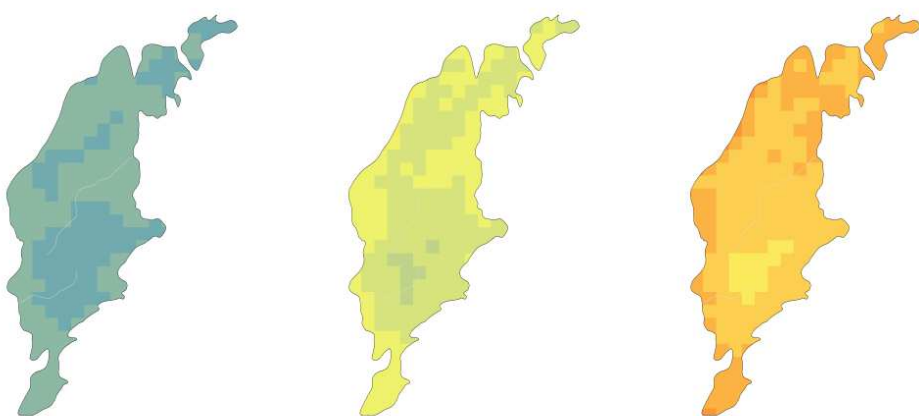


Framtidsklimat i Gotlands län

– enligt RCP-scenarier

Gunn Persson, Magnus Asp, Steve Berggreen-Clausen, Gitte Berglöv, Emil Björck, Jenny Axén Mårtensson, Linda Nylén, Alexandra Ohlsson, Håkan Persson och Elin Sjökvist



Pärbilden visar den beräknade vegetationsperiodens längd för olika tidsperioder enligt RCP4.5.

KLIMATOLOGI Nr 31, 2015

Framtidsklimat i Gotlands län

– enligt RCP-scenarier

Gunn Persson, Magnus Asp, Steve Berggreen-Clausen, Gitte Berglöv, Emil Björck, Jenny Axén Mårtensson, Linda Nylén, Alexandra Ohlsson, Håkan Persson och Elin Sjökvist

Sammanfattning

Hur klimatet i Gotlands län utvecklas beror på hur användningen av fossila bränslen blir i framtiden, dvs. hur mycket mängden växthusgaser ökar i atmosfären. Rapporten beskriver dagens och framtidens klimat i Gotlands län baserat på observationer och beräkningar utifrån två olika utvecklingsvägar, begränsade utsläpp (RCP4.5) respektive höga utsläpp (RCP8.5).

Geografiskt detaljerade klimatdata har framtagits och använts för hydrologisk modellering. Resultaten beskrivs i form av olika klimatindex, dvs. medelvärden, säsongsvariationer och mer extrema förhållanden, baserade på statistiska bearbetningar av modelldata.

Uppvärmningen för Gotlands län beräknas till 3 grader enligt RCP4.5 och nästan 5 grader enligt RCP8.5 till slutet av seklet. Störst uppvärmning väntas ske under sommaren.

Vegetationsperioden ökar med 2-4 månader och antalet varma dagar blir fler. RCP8.5 visar ett årsmedelvärde på över 30 dagar i följd med dygnsmedeltemperaturer på över 20°C i slutet av seklet. Behovet av uppvärmning minskar från 3800 graddagar till 2400-2800.

Årsmedelnederbörd ökar med 20-30 % vid seklets slut i jämförelse med referensperioden 1961-1990. Den kraftiga nederbörden ökar också, maximal dygnsnederbörd kan öka med uppemot 25 % beroende på RCP-scenario. De årligen återkommande skurarna, med en timmes varaktighet, beräknas öka med 15-20 %.

För länet ses en ökning av den lokala vintertillrinningen med uppemot 50 % vid slutet av seklet. Även under hösten ökar tillrinningen men för vår och sommar minskar tillrinningen. Vårflödestopparna försvinner och säsongen med lägre flöden blir längre.

Antalet dagar med låg markfuktighet ökar i framtiden, från dagens 15 dagar till 30-40 dagar mot slutet av seklet.

Summary

The report describes todays and future climate in Gotland County based on observations and climate modelling. Regional modelled RCP4.5 and RCP8.5 scenarios have been further downscaled to $4 \times 4 \text{ km}^2$ resolution. The results are presented as meteorological and hydrological indices based on statistically processed model data.

Ordlista

Avrinningsområde	Det landområde från vilket nederbörden förr eller senare kommer ut som vatten i vattendraget vid en angiven plats.
DBS-metoden	"Distribution Based Scaling" är ett verktyg för att korrigera klimatmodellernas utdata så att de kan användas som indata till hydrologisk modellering. Med DBS-skalering fås en högre rumslig upplösning av data.
Flöde	Här avses vattenflöde dvs. hur mycket vatten som rinner i vattendragen.
Global klimatmodell (GCM)	På engelska "Global Circulation Model" eller "Global Climate Model". En global klimatmodell beskriver hela jordklotet och de processer som sker i atmosfären, havet, havsisen och marken.
Gridbox	I en klimatmodell delas atmosfären upp i tredimensionella lådor, så kallade gridboxar. I varje gridbox räknas alla klimatologiska variabler ut som beskriver klimatet i den boxen.
HBV	En hydrologisk modell som beräknar markfuktighet, snöackumulation, snösmältning, avdunstning och avrinning/tillrinning samt beskriver vattnets väg i avrinningsområdet.
IPCC	Intergovernmental Panel on Climate Change. Även benämnd FN:s klimatpanel.
Klimatindex	Bearbetade utdata från klimatmodeller. De kan beskriva medelvärden, säsongsvariationer men också mer extrema förhållanden.
Klimatscenario	En beskrivning av en tänkbar klimatutveckling i framtiden med hjälp av antaganden om framtida utsläpp av växthusgaser, en global och en regional klimatmodell.
Osäkerhet	Det finns olika källor till osäkerheter i frågan om framtidens klimat. Den största osäkerheten ligger i hur mycket växthusgaser människan kommer släppa ut i framtiden. Det finns även osäkerheter i klimatmodellerna, t.ex. beroende på begränsad upplösning i både tid och rum.
RCA	Rossby Centre Regional Climate model (RCA) är en regional klimatmodell som utvecklas och används av SMHI:s klimatforskningsgrupp.
RCP	RCP:er är möjliga utvecklingsvägar för strålningsbalansen med det gemensamma namnet "representativa koncentrationsutvecklingsbanor" från engelskans "Representative Concentration Pathways (RCP)". RCP:erna är namngivna efter den nivå av strålningsdrivning i W/m^2 som uppnås år 2100. RCP-scenarier låg till grund för IPCC:s rapport 2013.
Referensperiod	SMHI använder referensperioden 1961-1990 för att definiera dagens klimat. Nya observationer jämförs med medelvärdet för 1961-1990 för att säga hur de avviker från det normala. Meteorologiska världsorganisationen, WMO, definierar referensperioderna och nästa period blir 1991-2020.
Regional klimatmodell (RCM)	Beskriver klimatet för en del av jordklotet, en region. En regional klimatmodell använder alltid indata från en global klimatmodell.
SRES	Scenarier som beskriver framtida utsläpp av växthusgaser, baserade på antaganden om den framtida utvecklingen av världen. SRES-scenarier användes i de beräkningar av

	framtidens klimat som låg till grund för arbetet med IPCC:s rapporter från år 2000 och 2007. SRES= Special Report on Emission Scenarios.
Strålningsdrivning	Strålningsdrivningen är skillnaden mellan hur mycket energi solstrålningen som träffar jorden innehåller och hur mycket energi som jorden strålar ut i rymden igen. Denna energi mäts i enheten watt per kvadratmeter, W/m ² . Strålningsdrivningen ökar då mängden växthusgaser ökar i atmosfären, vilket resulterar i en global ökning av temperaturen på jorden. För att studera framtida klimat finns ett antal strålningsdrivningsscenarier att utgå ifrån, se "RCP".
Trend	Här används begreppet som "en förändring över tid".
Upplösning	Upplösningen är storleken på gridboxarna i klimatmodellen. Låg upplösning (stora gridboxar) ger mindre detaljerad information, men kostar mindre datorkraft. Hög upplösning (små gridboxar) ger mer detaljerad information, men kostar mer datorkraft.
Variabilitet	Variabilitet är en viktig faktor inom klimatologin. Klimatet är inte bara genomsnittliga värden utan klimat kännetecknas av variationer i tid och rum som kan hänga ihop med till exempel växelverkan mellan atmosfären och havet.
Växthusgaser	Atmosfären som omger jorden har förmågan att bevara energin från solen så att jordytan blir varmare än vad den skulle varit om atmosfären inte fanns. Den s.k. naturliga växthuseffekten bygger på naturlig förekomst av en viss mängd vattenånga och koldioxid i atmosfären. Vattenånga och koldioxid är de viktigaste växthusgaserna. Atmosfärens sammansättning har sedan den förindustriella tiden successivt förändrats på grund av mänsklig aktivitet. De vanligaste växthusgaserna som vi människor släpper ut är koldioxid, metan, dikväveoxid (lustgas) och ozon, men även en rad industrigaser spelar roll.
Återkomsttid	Ett mått på hur ofta förekomsten av extrema naturliga händelser kan förväntas. Med en händelses återkomsttid menas att händelsen i genomsnitt inträffar eller överträffas en gång under denna tid. Ett värde som har en återkomsttid på 100 år uppnås eller överträffas i genomsnitt en gång på 100 år. Det innebär att sannolikheten är en (1) procent varje enskilt år. Eftersom man exponerar sig för risken under flera år blir den ackumulerade risken avsevärt större. För en konstruktion vars livslängd beräknas till 100 år blir den ackumulerade risken hela 63 % att 100-årsvärdet överskrids någon gång under 100 år. Om säkerhetsnivån väljs till 100-årsvärdet är risken att det värdet överskrids större än att det underskrids. Det är alltså troligare att konstruktionen, under sin livslängd, kommer att utsättas för förhållanden utöver den nivå som valts än att den nivån aldrig inträffar. För 10-årsvärdet är sannolikheten 65 % att det överskrids någon gång under 10 år.

Innehållsförteckning

1	INLEDNING	1
2	BAKGRUND	1
3	METOD OCH PRESENTATION	1
3.1	Antaganden, modeller och databearbetning.....	1
3.2	Osäkerheter	2
3.3	Generella resultat för Sverige	3
3.4	Jämförelse SRES-RCP.....	3
3.5	Läsanvisningar.....	5
3.5.1	Kartor	5
3.5.2	Diagram	5
4	TEMPERATUR	7
4.1	Årsmedeltemperatur	7
4.2	Medeltemperatur vinter.....	9
4.3	Medeltemperatur vår	11
4.4	Medeltemperatur sommar	13
4.5	Medeltemperatur höst.....	15
4.6	Vegetationsperiodens längd	17
4.7	Vegetationsperiodens starttidpunkt	19
4.8	Värmebölja.....	21
4.9	Graddagar för uppvärmning.....	23
4.10	Graddagar för kylining.....	25
5	NEDERBÖRD	27
5.1	Årsmedelnederbörd	27
5.2	Medelnederbörd vinter.....	29
5.3	Medelnederbörd vår	31
5.4	Medelnederbörd sommar	33
5.5	Medelnederbörd höst.....	35
5.6	Antal dagar med mer än 10 mm nederbörd.....	37
5.7	Maximal dygnsnederbörd.....	39
5.8	Maximal 7-dygnsnederbörd.....	41
5.9	Förändring av korttidsnederbörd.....	43
6	TOTAL MEDELTILLRINNING	44
6.1	Förändrad total medeltillrinning för år och säsonger.....	44
6.2	Förändrad total 10-årstillrinning	47
6.3	Förändrad total 100-årstillrinning	48

7	LOKAL MEDELTILLRINNING.....	49
7.1	Förändrad lokal årsmedeltillrinning.....	49
7.2	Förändrad lokal medeltillrinning vinter	51
7.3	Förändrad lokal medeltillrinning vår.....	52
7.4	Förändrad lokal medeltillrinning sommar	53
7.5	Förändrad lokal medeltillrinning höst	54
7.6	Antal dagar med lågflöde	55
8	TILLRINNINGENS ÅRSDYNAMIK	57
9	MARKFUKTIGHET.....	58
10	SLUTSATSER	60
11	TACKORD	60
12	REFERENSER	61

1 Inledning

Rapporten beskriver dagens och framtidens klimat i Gotlands län baserat på observationer och beräkningar utifrån två olika antaganden om atmosfären innehåll av växthusgaser. Data från internationell klimatforskning har bearbetats för att möjliggöra analyser på lokal skala, inklusive hydrologisk modellering. Resultaten beskrivs i form av olika klimatindex, dvs. medelvärden, säsongsvariationer och mer extrema förhållanden, baserade på statistiska bearbetningar av data.

2 Bakgrund

FN:s klimatpanel presenterade 2013 en ny rapport om jordens framtida klimat (IPCC, 2013). Resultaten baserades på nya möjliga utvecklingsvägar, så kallade RCP-scenarier (Representative Concentration Pathways). SMHI fick 2014 i uppdrag av regeringen att göra en enhetlig studie för Sverige baserad på dessa scenarier. Studien finansierades via det klimatanpassningsanslag som tilldelades Nationellt kunskapscentrum för klimatanpassning vid SMHI.

Arbetet resulterade i databasen SCID med statistik i form av klimatindex för Sveriges nutida och framtida klimat. Databasen, tillsammans med en rapport och beskrivande dokument, finns tillgänglig som en nedladdningstjänst på smhi.se. Rapporten ”Klimatscenarier för Sverige” beskriver metoder, resultat och osäkerheter, vilket är viktigt att ha kunskaper om vid studier av framtida klimat på läns- och kommunnivå (Sjökvist m.fl., 2015).

I regleringsbrevet för 2015 avseende klimatanpassningsanslaget gavs SMHI i uppdrag att ta fram länsvisa enhetliga klimatanalyser baserade på de nya klimatscenarierna. Den ovan nämnda databasen är utgångspunkten för analyserna i föreliggande rapport som avser Gotlands län.

3 Metod och presentation

I detta kapitel beskrivs metodiken mycket kortfattat. Mer information finns i rapporten ”Klimatscenarier för Sverige” som nämns ovan. På smhi.se finns också en ”Vägledning klimatscenarier” som stöd för användande av klimatscenarier (Persson m.fl., 2015). I Ordlistan finns flertalet begrepp definierade.

3.1 Antaganden, modeller och databearbetning

Klimatets utveckling i framtiden beror på hur atmosfären innehåll av växthusgaser förändras. För att kunna studera framtidens klimat behövs antaganden om hur utsläppen av växthusgaser kommer att bli. Det finns flera möjliga utvecklingar och vilken av dem som slår in beror på människans förmåga att begränsa utsläppen. RCP-scenarierna beskriver resultatet av utsläppen, den så kallade strålningsbalansen i atmosfären, fram till år 2100. I följande analyser används två RCP-scenarier, RCP4.5 som bygger på begränsade utsläpp, och RCP8.5 med höga utsläpp. Tabell 1 beskriver vilka antaganden som ligger till grund för scenarierna.

Forskarvärlden har fokuserat på dessa två scenarier, därfor finns det mest fullständiga underlaget för dessa i form av regionala klimatberäkningar. Det är skälet till att dessa två scenarier använts i föreliggande rapport. De två scenarierna täcker in en stor variationsbredd vad avser framtidens koncentrationer av växthusgaser i atmosfären.

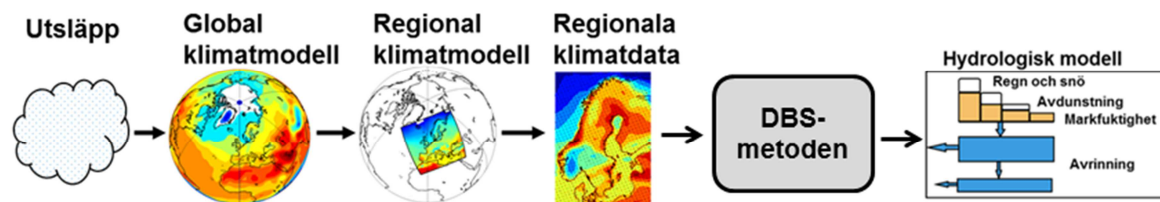
Tabell 1. Antaganden som ligger till grund för scenarierna RCP4.5 och RCP8.5.

RCP4.5	RCP8.5
<ul style="list-style-type: none"> Utsläppen av koldioxid ökar något och kulminerar omkring år 2040 Befolkningsmängd något under 9 miljarder i slutet av seklet Lågt arealbehov för jordbruksproduktion, bland annat till följd av större skördar och förändrade konsumtionsmönster Omfattande skogsplanteringsprogram Låg energiintensitet Kraftfull klimatpolitik 	<ul style="list-style-type: none"> Koldioxidutsläppen är tre gånger dagens vid år 2100 och metanutsläppen ökar kraftigt Jordens befolkning ökar till 12 miljarder vilket leder till ökade anspråk på betes- och odlingsmark för jordbruksproduktion Teknikutvecklingen mot ökad energieffektivitet fortsätter, men långsamt Stort beroende av fossila bränslen Hög energiintensitet Ingen tillkommande klimatpolitik

För att göra beräkningar av det framtida klimatet krävs klimatmodeller, de är matematiskt formulerade beskrivningar av de fysikaliska processerna i klimatsystemet. De globala klimatmodellerna beskriver hela jorden och de regionala beskriver mer förfinat ett delområde. Indelningen sker i så kallade gridboxar, ett 3-dimensionellt rutnät av atmosfären. Det är mycket omfattande beräkningar som sker på superdatorer.

Den globala klimatmodelleringen görs med en relativt grov upplösning, vilket betyder att storleken på rutorna vid jordytan kan vara ca $200 \times 200 \text{ km}^2$. Den regionala klimatmodelleringen utförs med högre upplösning, ca $50 \times 50 \text{ km}^2$, och ger därför mer detaljerade beräkningar. I analysen ingår nio olika globala klimatmodeller från olika institut runt om i världen. Rossby Centre vid SMHI har utfört regional modellering med den regionala klimatmodellen RCA4.

För att utföra analyser på lokal skala, exempelvis för hydrologiska beräkningar, krävs data med ännu högre geografisk upplösning. SMHI har därför utvecklat en metod, DBS (Distribution Based Scaling), för att öka upplösningen till $4 \times 4 \text{ km}^2$. Därefter har hydrologisk modellering utförts med HBV-modellen. Flödesberäkningar baseras på oreglerade förhållanden.



Statistik har beräknats i form av klimatindex, vilka är definierade i respektive avsnitt. Varje enskilt modellresultat har bearbetats separat men resultaten presenteras sammanlagda för RCP4.5 och RCP8.5. De index som berör temperatur och nederbörd, presenteras med $4 \times 4 \text{ km}^2$ upplösning. De hydrologiska indexen, som berör tillrinning och markfuktighet, presenteras för avrinningsområden. Beräkningar av korttidsnederbörd (avsnitt 5.9) är utförd direkt på regional klimatdata.

3.2 Osäkerheter

Ett klimatscenario kräver en lång kedja av beräkningar och antaganden. Det finns alltså flera källor till osäkerheter; klimatets naturliga variationer, val av klimatmodell och framtida utsläpp av växthusgaser.

Den naturliga variationen innebär att klimatet varierar naturligt från år till år. Denna osäkerhet påverkar mest klimatscenarier för en nära framtid, eftersom klimatet inte hunnit förändras så mycket. Klimatförändringen är då svår att urskilja från den naturliga variationen i klimatet.

Alla klimatmodeller baseras på samma grundläggande kunskap om klimatsystemet och fungerar på ungefär samma sätt. Resultaten skiljer sig ändå åt beroende på att processerna i klimatsystemet kan beskrivas på olika sätt, och att fler eller färre processer inkluderas i modellerna. Ingen modell är perfekt, därfor är det bra att sammanväga resultaten från olika modeller. Det ger ett mått på hur stor betydelse olika modellbeskrivningar har för det beräknade klimatet.

Framtidens klimat beror på framtida utsläpp av växthusgaser. Ett viktigt resultat, som kan utläsas i klimatscenarierna, är att valet av RCP-scenario har mycket liten betydelse för de närmsta årtiondena. Mot mitten på seklet börjar valet av RCP-scenario växa i betydelse för klimatets utveckling.

3.3 Generella resultat för Sverige

I figur 1 och 2 visas översiktliga beräkningar av framtidens förändringar av temperatur och nederbörd i Sverige. Där redovisas även tidigare resultat baserade på s.k. SRES-scenarier. Skillnaderna kommenteras mer utförligt i kapitel 3.4.

Årsmedeltemperaturen beräknas öka för hela Sverige i framtiden. RCP8.5 visar generellt på störst uppvärmning (4-6 grader). RCP4.5 visar på samma mönster men en lägre uppvärmning (2-4 grader).

Nederbördens beräkna öka i framtiden. RCP8.5 visar störst förändring, särskilt i norra Sverige, där ökningen beräknats till 30-50 %. RCP4.5 visar samma förändringsmönster, men som mest 30 % ökning (i Lapplandsfjällen).

Medeltillrinningen väntas öka i hela landet utom i sydöstra Sverige, där det sker en minskning. Störst ökning sker i landets norra delar. RCP8.5 ger det mest extrema resultatet både där tillrinningen ökar och där den minskar.

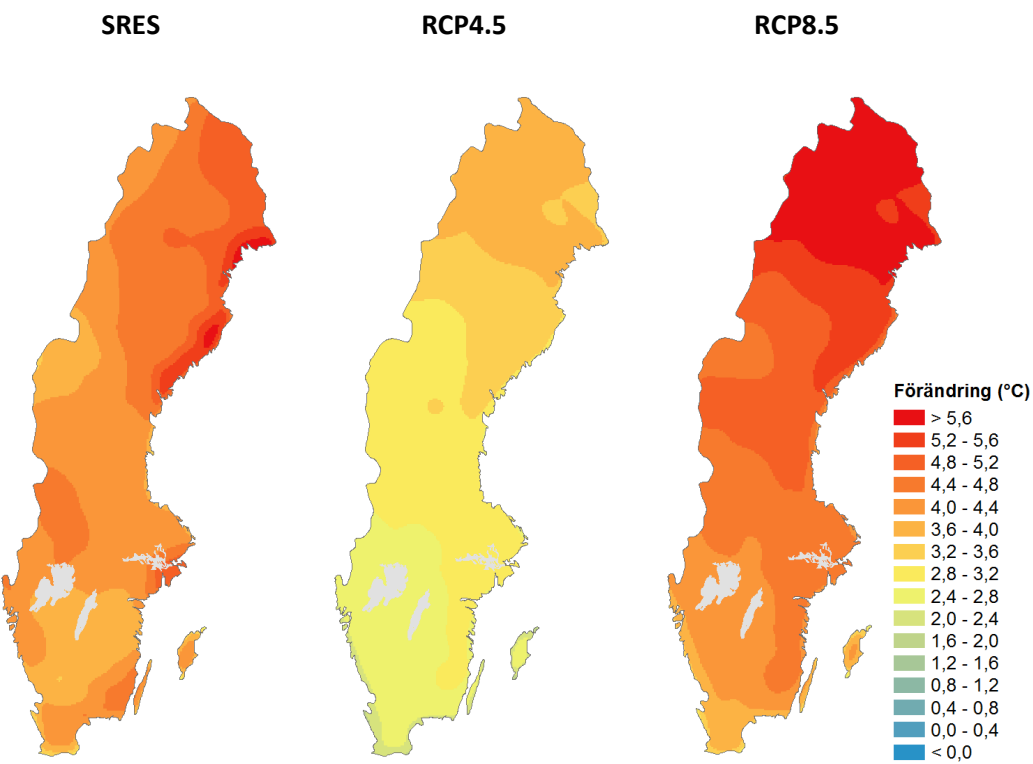
Extrema vattenflöden, redovisade som 100-årsflöden¹, beräknas öka i vattendragen i södra Sverige mot slutet av seklet. I de nordliga älvarna är förändringen mindre tydlig och kan till och med medföra en minskning av de extrema flödena.

3.4 Jämförelse SRES-RCP

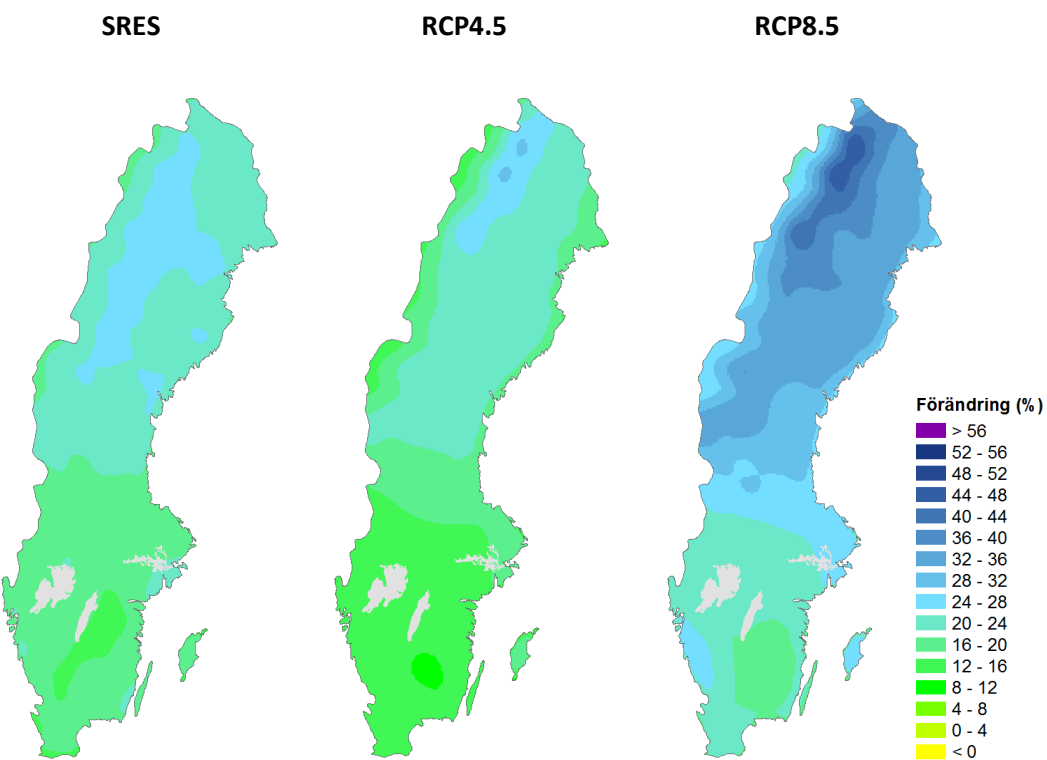
Klimatforskingen utvecklas hela tiden, nya resultat publiceras, liksom nya sätt att beskriva antaganden om framtida utsläpp. I FN:s klimatpanels tredje och fjärde stora sammanställning (IPCC, 2001 och IPCC, 2007) användes scenarierna SRES (Special Report on Emission Scenarios) (Nakićenović and Swart (eds.) 2000). I femte sammanställningen AR5 (IPCC, 2013) antogs de nya scenarierna RCP (Representative Concentration Pathways) (ICONICS, 2013).

I de tidigare länsanalyser som utförts av SMHI baseras resultaten på 16 SRES-scenarier med tyngdpunkt på utsläppsscenariot A1B. För att få en uppfattning om hur dessa skiljer sig från de nya RCP-scenarierna visas här kartor på förändringen i temperatur för perioden 2069-2098 jämfört med 1961-1990 (figur 1).

Alla scenarier visar på en tydlig uppvärmning i hela landet och störst uppvärmning i norra Sverige. SRES-scenarierna har inte lika tydlig gradient mellan norra och södra Sverige som RCP-scenarierna. Uppvärmningen är generellt något lägre än i RCP8.5, men utmärkande för SRES-scenarierna är hög uppvärmning längs kusterna, framförallt norra Norrlandskusten. Det beror med stor sannolikhet på dataunderlaget till SRES-analysen, då temperaturdata längs kusten påverkades mycket av havsklimatet, vilket kan ge missvisande resultat. De höga värdena längs kusterna i SRES-kartan bör alltså tolkas med försiktighet.



Figur 1. Beräknad förändring av årsmedeltemperatur för perioden 2069-2098 jämfört med perioden 1961-1990, enligt de tidigare beräkningarna med SRES och de nyare med RCP4.5 respektive RCP8.5. Värdena i kartorna är utjämna för att förenkla tolkningen.



Figur 2. Beräknad procentuell förändring av årsnederbörd för perioden 2069-2098 jämfört med perioden 1961-1990, enligt de tidigare beräkningarna med SRES och de nyare med RCP4.5 respektive RCP8.5. Värdena i kartorna är utjämna för att förenkla tolkningen.

Kartorna i figur 2 visar förändringen i årsmedelnederbörd vid slutet på seklet jämfört med perioden 1961-1990. SRES-scenarierna är mycket lika RCP4.5, med en ökning på 10-30 %.

Skillnaderna är alltså olika beroende på vilken variabel som studeras och beror till stora delar på de klimatmodeller som används i beräkningarna. För SRES-analyserna användes 16 olika uppsättningar av globala och regionala modeller, medan RCP-analyserna är baserade på nio olika globala modeller och en regional (RCA4). Det ger en bättre representation avseende globala beräkningar men i analysen har endast data från en regional modell varit tillgänglig, vilket kan ge ett snävt resultat. RCA4 har visat sig vara något blötere i jämförelse med andra regionala modeller, vilket betyder att samma RCP-scenarier kan uppvisa något torrare klimatförändring med andra kombinationer av globala och regionala modeller.

3.5 Läsanvisningar

På följande sidor presenteras index baserade på temperatur, nederbörd, tillrinning och markfuktighet. Indexen beskrivs och resultaten presenteras i korta texter i respektive kapitel. Indexen presenteras lite olika vad gäller kartor och diagram, vilket beskrivs nedan.

3.5.1 Kartor

För temperatur- och nederbörsindex visas observerade och beräknade värden. För medeltemperatur och medelnederbörd samt antal dagar med mer än 10 mm nederbörd visas även kartor över förändringar mellan tidsperioder.

För index baserade på tillrinning presenteras endast förändringar mellan tidsperioder. Förändringar anges som procentuell avvikelse från referensperioden.

Alla kartor visar medelvärdet över en given tidsperiod. I de kartor som visar förändringar mellan tidsperioder är värdena geografiskt utjämnade för att underlätta tolkningen.

Sverigekartorna representerar respektive index för referensperioden 1961-1990 och visar hur förhållandena i länet relaterar till övriga Sverige.

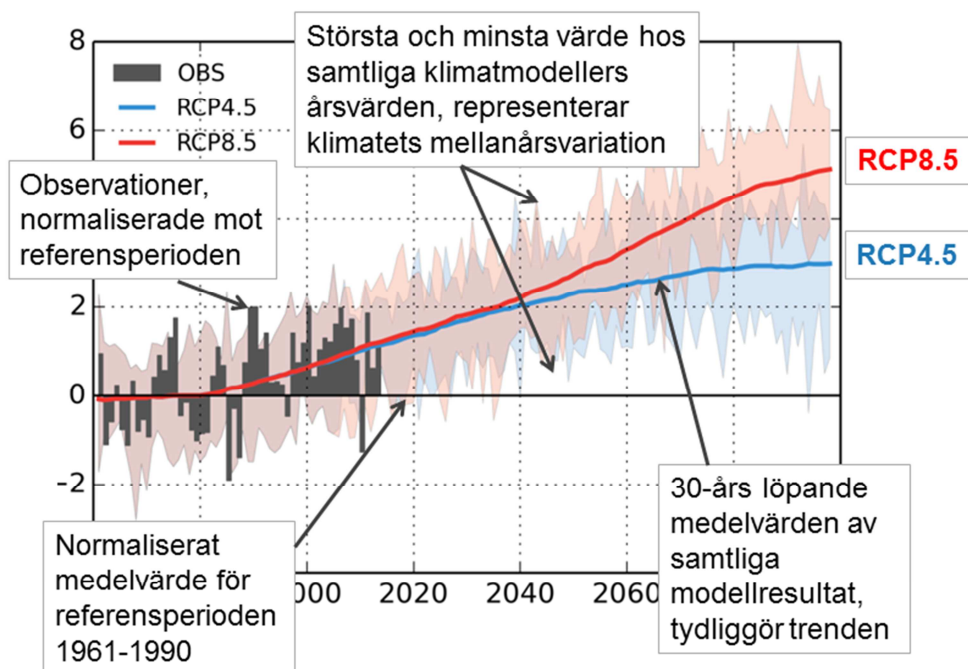
3.5.2 Diagram

Diagrammen för temperatur och nederbörd visar utvecklingen över tid för länet som helhet jämfört med referensperioden 1961-1990. Tillrinning och markfuktighet är beräknade utifrån hydrologisk modellering och diagrammen för de indexen visar utvecklingen över tid för ett definierat avrinningsområde, jämfört med referensperioden 1963-1992.

Diagram för temperatur och nederbörd innehåller staplar med observationer som är geografiska medelvärdet för hela länet, se förklaring av diagrammets uppbyggnad i figur 3. För tillrinning och markfuktighet finns inte motsvarande observerade värden att tillgå, därför saknar de diagrammen observationsstaplar.

Tillrinningens årsdynamik presenteras som 30-årsmedelvärdet för referensperioden 1963-1992 och framtidspérioden 2069-2098.

Diagrammen över förändring av korttidsnederbörd avser länet som helhet.

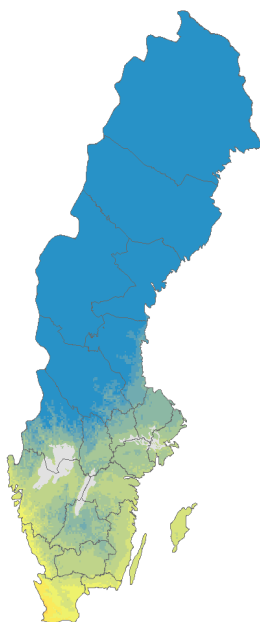


Figur 3. Beskrivning av diagrammens struktur i rapporten.

4 Temperatur

4.1 Årsmedeltemperatur

Observerat 1961-1990



Årsmedeltemperatur är medelvärdet av varje års medeltemperatur beräknat utifrån dygnsmedeltemperatur. Det är tillsammans med årsmedelnederbörd det mest använda indexet för att beskriva klimatet.

Observerat 1961-1990



Observerat 1991-2013



Beräknat 2021-2050



Beräknat 2069-2098

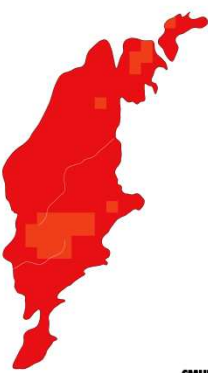


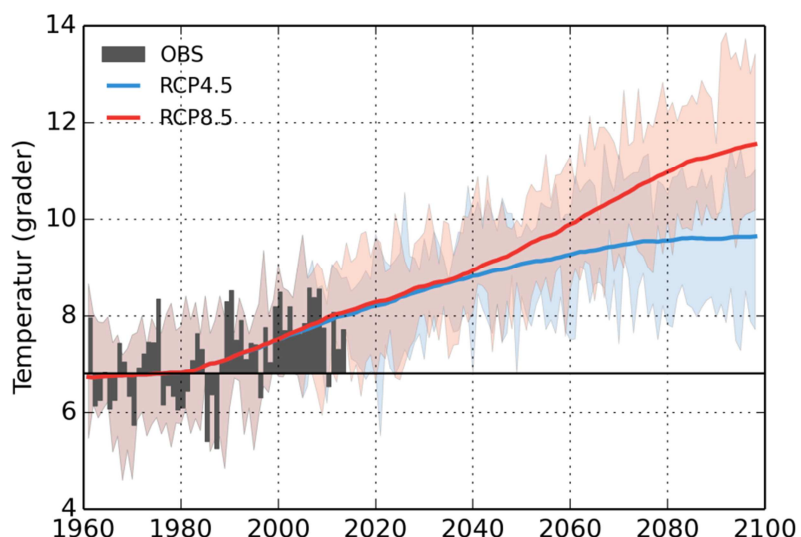
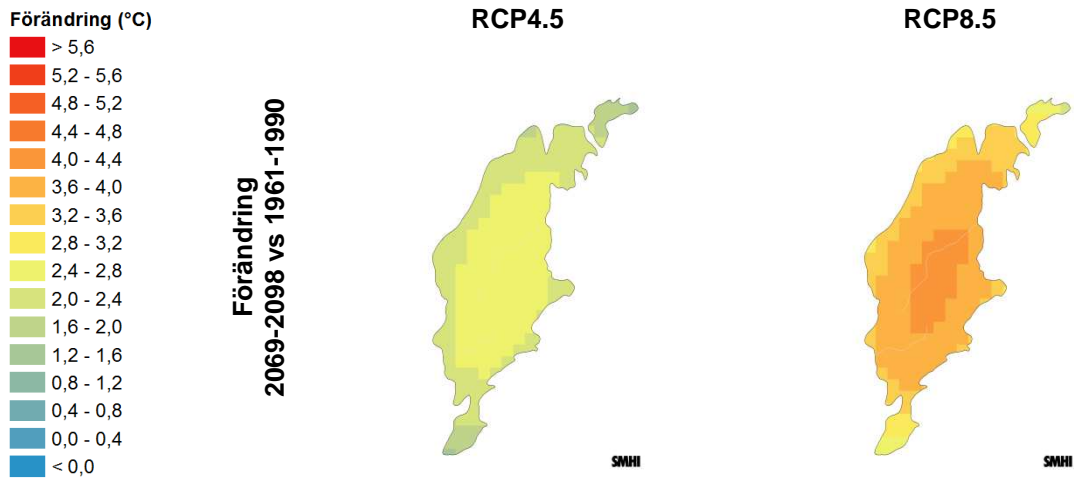
Temperatur ($^{\circ}\text{C}$)

> 11,0
10,5 - 11,0
10,0 - 10,5
9,5 - 10,0
9,0 - 9,5
8,5 - 9,0
8,0 - 8,5
7,5 - 8,0
7,0 - 7,5
6,5 - 7,0
6,0 - 6,5
5,5 - 6,0
5,0 - 5,5
4,5 - 5,0
4,0 - 4,5
< 4,0

RCP4.5

RCP8.5





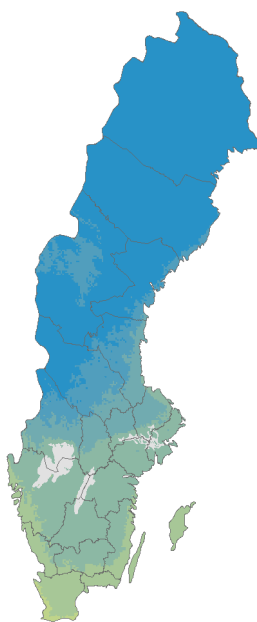
Under perioden 1961-1990 var årsmedeltemperaturen för hela Gotlands län 6,8°C. Perioden 1991-2013 var varmare, vilket framträder både i kartan och i diagrammet. Endast åren 1996 och 2010 hade lägre årsmedeltemperaturer än medelvärdet för 1961-1990, vilket framgår av staplarna i diagrammet. De visar också att årsmedeltemperaturen har varierat mellan drygt 5°C och över 8°C.

Klimatscenarierna pekar på fortsatt ökande årsmedeltemperaturer för länet. RCP4.5 visar en ökning till ca 9,5°C vid slutet av seklet och RCP8.5 anger en kraftigare ökning, till ca 11,5°C. De skuggade fälten kan ses som storleken på variationen mellan år. För de närmsta årtiondena följer de två RCP-scenarierna varandra.

Kartorna visar något lägre temperaturer för de inre södra delarna av länet. Ökningen i årsmedeltemperatur ser dock ut att bli störst i de inre delarna av länet, enligt kartorna över förändringarna.

4.2 Medeltemperatur vinter

Observerat 1961-1990



Observerat 1961-1990

Vinter definieras här som perioden december-februari. Kartorna visar medelvärdet för respektive period beräknat utifrån dygnsmitteltemperatur.

Observerat 1991-2013



SMHI



SMHI

Beräknat 2021-2050



SMHI

Beräknat 2069-2098



SMHI

Temperatur (°C)

> 20
18 - 20
16 - 18
14 - 16
12 - 14
10 - 12
8 - 10
6 - 8
4 - 6
2 - 4
0 - 2
-2 - 0
-4 - -2
-6 - -4
-8 - -6
< -8

RCP4.5

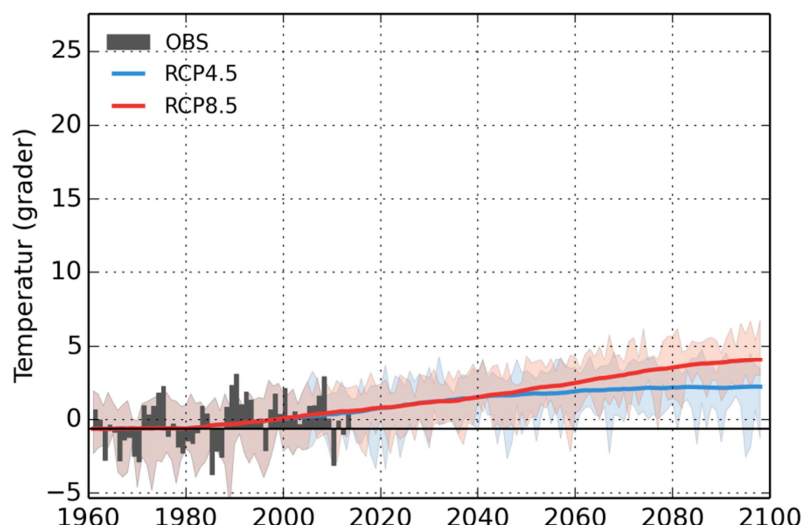
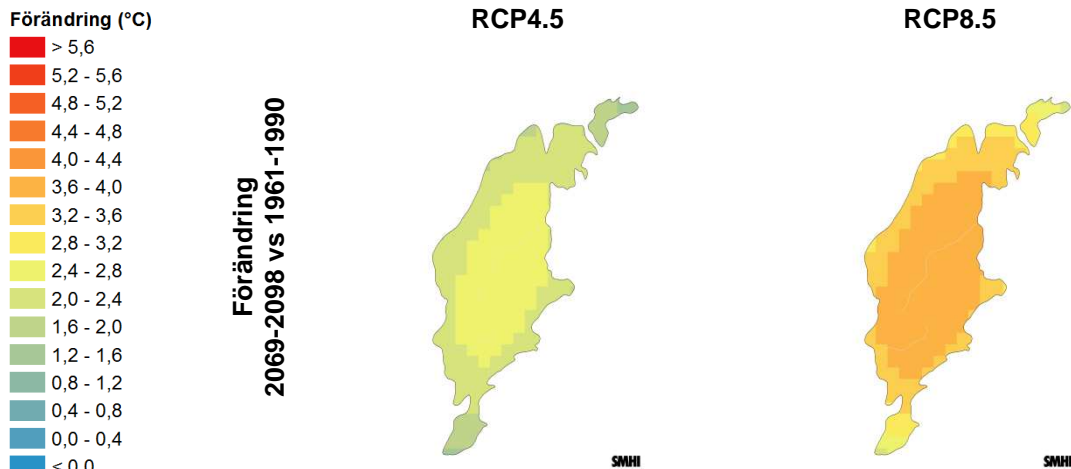
RCP8.5



SMHI



SMHI



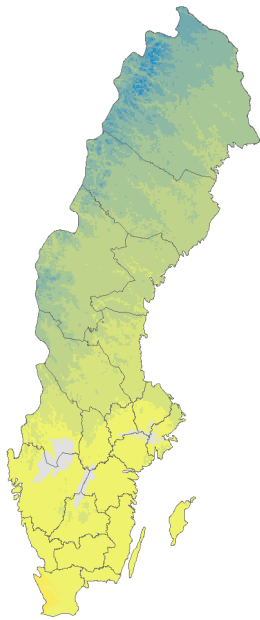
Gotlands vintermedeltemperatur var under referensperioden 1961-1990 -0,6°C. Vintrarna har generellt blivit milder under de senaste årtiondena. Variationen mellan år är dock stor, från -4°C till +3°C för länet som helhet.

De två olika scenarierna visar samstämmigt på att det blir ännu milder vintrar framöver. Enligt RCP4.5 blir det nästan 3 grader varmare till slutet av seklet, medan RCP8.5 visar på ca 4,5 graders skillnad mot referensperioden 1961-1990. För de närmsta 30 åren visar scenarierna en samstämmig ökning.

4.3 Medeltemperatur vår

Observerat 1961-1990

Vår definieras här som perioden mars-maj. Kartorna visar medelvärdet för respektive period beräknat utifrån dygnsmitteltemperatur.



Observerat 1961-1990

Observerat 1991-2013



SMHI



SMHI

Beräknat 2021-2050

Beräknat 2069-2098



SMHI



SMHI

Temperatur (°C)

> 20
18 - 20
16 - 18
14 - 16
12 - 14
10 - 12
8 - 10
6 - 8
4 - 6
2 - 4
0 - 2
-2 - 0
-4 - -2
-6 - -4
-8 - -6
< -8

RCP4.5

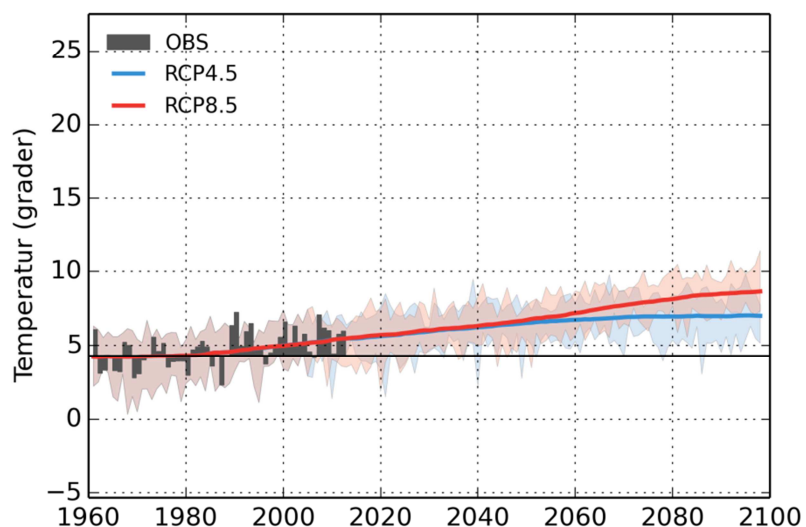
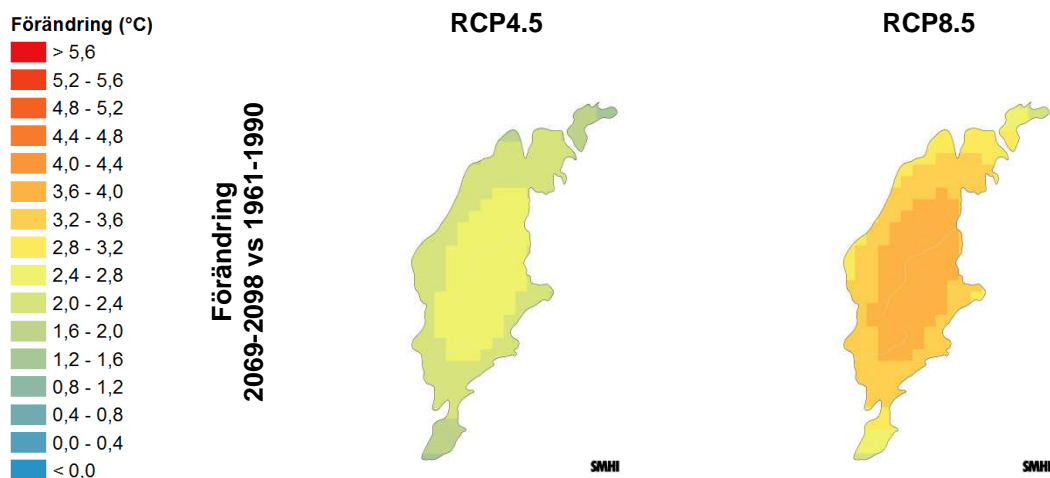
RCP8.5



SMHI



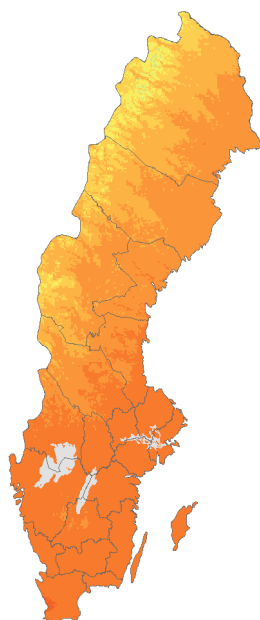
SMHI



Medeltemperaturen för våren under perioden 1961-1990 var 4,3°C, och mellanårsvariationen är betydligt mindre än för vintern. Medeltemperaturen har de senaste drygt 20 åren ökat med ca en grad. Den utvecklingen håller i sig under resten av århundradet enligt beräkningarna. För Gotland som helhet visar RCP4.5 på 2,5-3 graders temperaturhöjning vid seklets slut och RCP8.5 anger mellan 3 och 4,5 graders ökning jämfört med 1961-1990. I förändringsdiagrammen ses en svagare ökning längs kusterna jämfört med inlandet.

4.4 Medeltemperatur sommar

Observerat 1961-1990



Observerat 1961-1990

Sommar definieras här som perioden juni-augusti. Kartorna visar medelvärdet för respektive period beräknat utifrån dygnsmitteltemperatur.

Observerat 1991-2013



SMHI

Beräknat 2021-2050



SMHI

Beräknat 2069-2098



SMHI

Temperatur ($^{\circ}\text{C}$)

> 20
18 - 20
16 - 18
14 - 16
12 - 14
10 - 12
8 - 10
6 - 8
4 - 6
2 - 4
0 - 2
-2 - 0
-4 - -2
-6 - -4
-8 - -6
< -8

RCP4.5

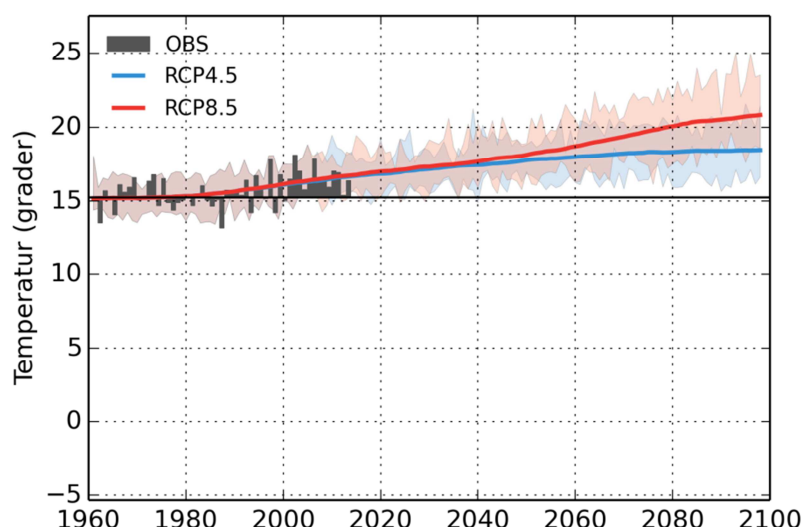
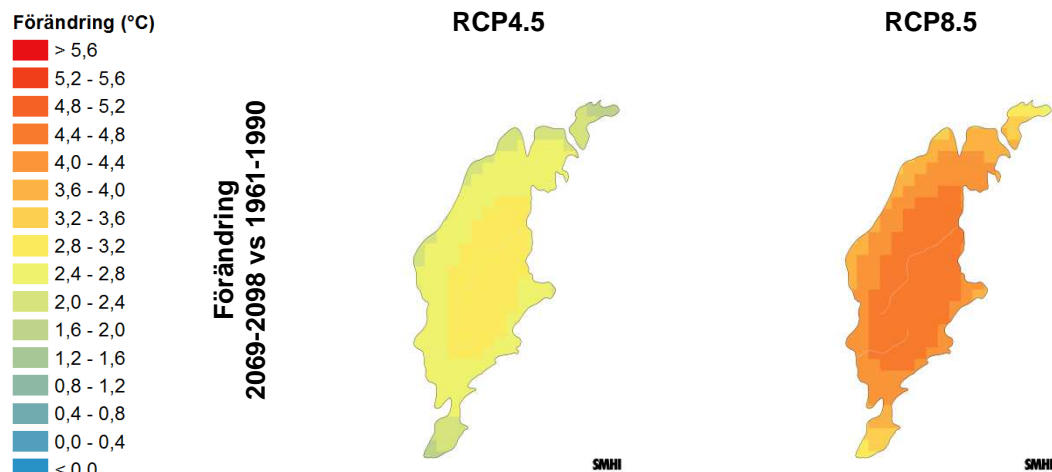
RCP8.5



SMHI



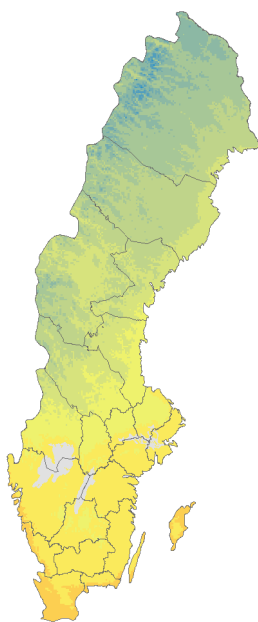
SMHI



Sommarmedeltemperaturen under 1961-1990 var 15,3°C. Somrarna har varit varmare i medeltal under de senaste årtiondena. För de närmsta årtiondena följs scenarierna åt, därefter ökar temperaturen kraftigt enligt RCP8.5 och når vid seklets slut en sommarmedeltemperatur på nästan 21°C. RCP4.5 visar på en mer stagnerande temperaturökning och landar på ca 18,5°C från ca 2070 och mot seklets slut. Variationsbredden för RCP4.5 vid seklets slut anger att sommarmedeltemperaturen kan variera mellan 16 och 21 grader. För RCP8.5 är motsvarande variation mellan 18 och 25 grader.

4.5 Medeltemperatur höst

Observerat 1961-1990



Observerat 1961-1990

Höst definieras här som perioden september-november. Kartorna visar medelvärdet för respektive period beräknat utifrån dygnsmitteltemperatur.

Observerat 1991-2013



SMHI

Beräknat 2021-2050



SMHI

RCP4.5

Temperatur (°C)

> 20
18 - 20
16 - 18
14 - 16
12 - 14
10 - 12
8 - 10
6 - 8
4 - 6
2 - 4
0 - 2
-2 - 0
-4 - -2
-6 - -4
-8 - -6
< -8

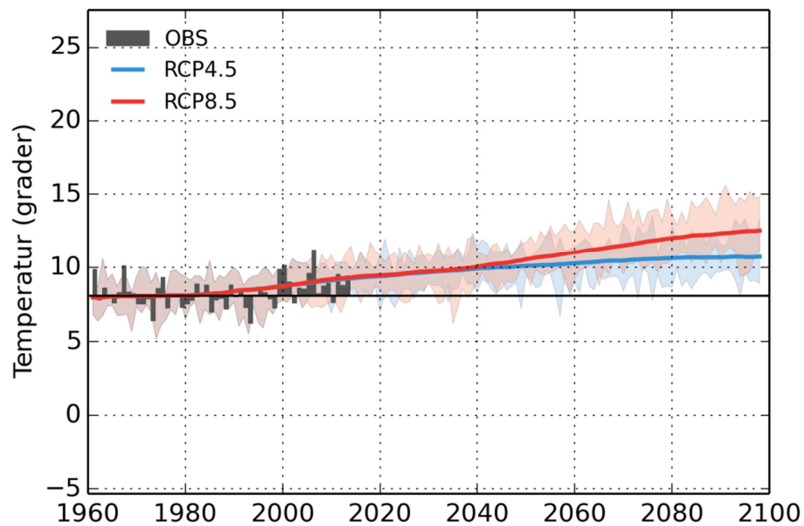
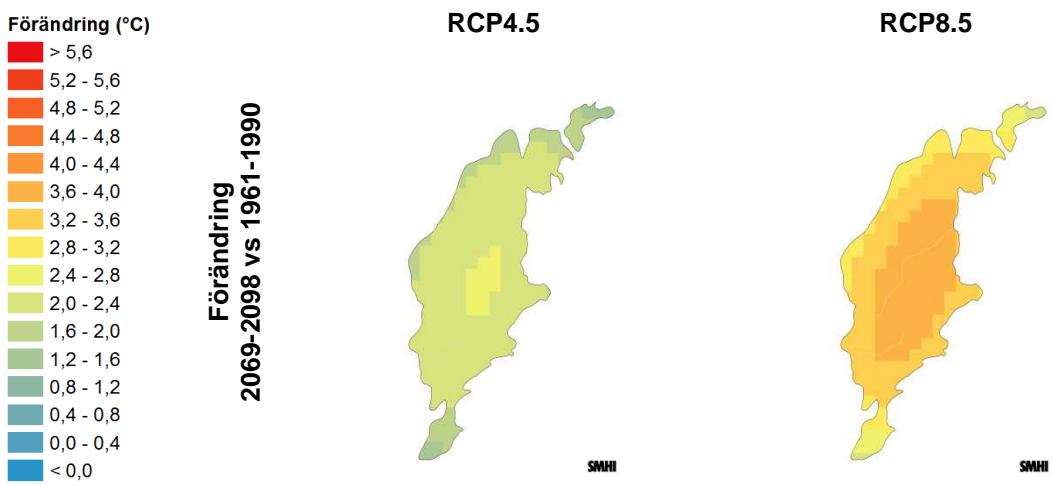
RCP8.5



SMHI



SMHI



Högsmedeltemperaturen på Gotland 1961-1990 var 8,1°C. Även höstarna har i medeltal varit varmare under de senaste årtiondena. Variationen mellan år är ca 5 grader dvs. ungefär lika stor som för vår och sommar. 2006 sticker ut som en ovanligt varm höst. Liksom för övriga årstider följs RCP4.5 och RCP8.5 åt väl de närmsta kommande årtiondena, vartefter RCP8.5 visar en större temperaturökning och landar på ca 12,5°C vid seklets slut. RCP4.5 hamnar ca 2 grader lägre.

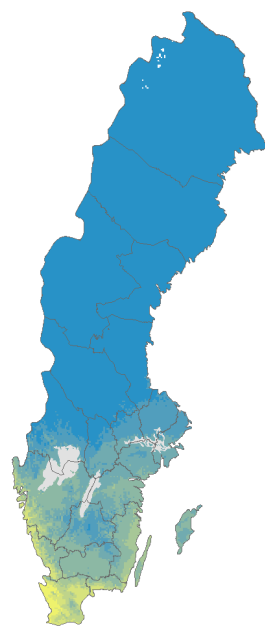
Allmänt om årstiderna

Både RCP4.5 och RCP8.5 visar på en ökning av temperaturen för alla årstiderna fram till slutet av seklet. Störst ökning ses för sommaren.

Temperaturökningen kan indikera, om medeltemperaturer används för att definiera årstiderna, att hösten håller i sig längre och att våren kommer tidigare än idag. Vinterperioden blir alltså kortare och sommaren längre.

4.6 Vegetationsperiodens längd

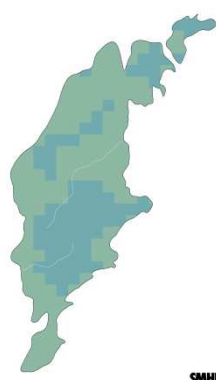
Observerat 1961-1990



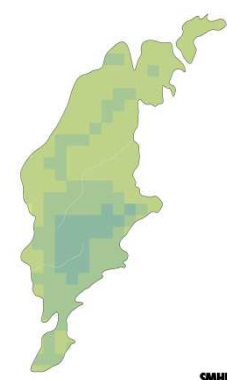
Längden på vegetationsperioden är definierad som skillnaden mellan sluttidpunkt och starttidpunkt. Starttidpunkt är första dagen i året i en sammanhängande fyradagarsperiod då dygnsmedeltemperaturen överstiger 5°C. Sluttidpunkt är sista dagen i årets sista fyradagarsperiod med dygnsmedeltemperatur över 5°C. Indexet baseras enbart på temperatur och tar inte hänsyn till solinstrålning.

Observerat 1961-1990

Observerat 1991-2013



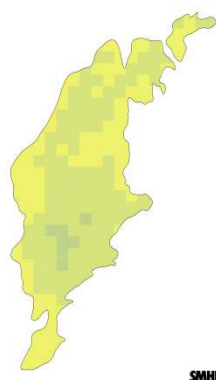
SMHI



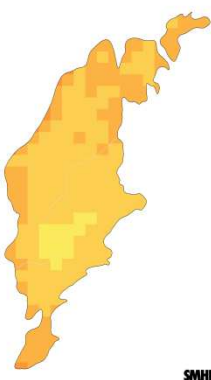
SMHI

Beräknat 2021-2050

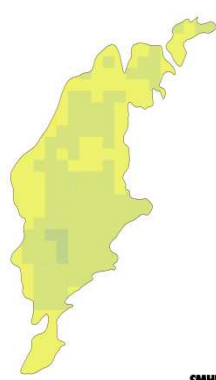
Beräknat 2069-2098



SMHI



SMHI



SMHI



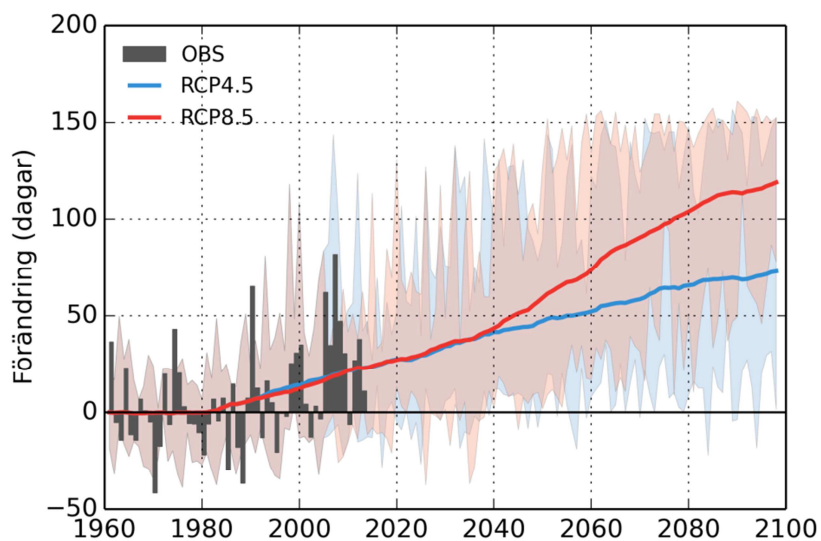
SMHI

Antal dagar

> 330
320 - 330
310 - 320
300 - 310
290 - 300
280 - 290
270 - 280
260 - 270
250 - 260
240 - 250
230 - 240
220 - 230
210 - 220
200 - 210
190 - 200
< 190

RCP4.5

RCP8.5



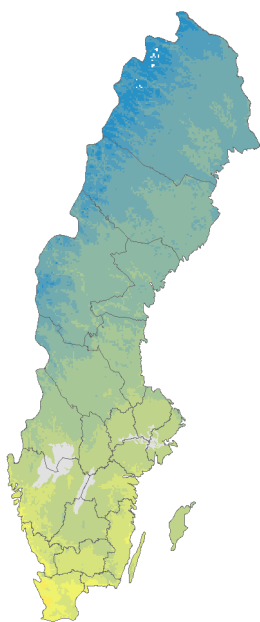
Längden på vegetationsperioden¹ under perioden 1961-1990 för länet som helhet var i medeltal 211 dagar. Vegetationsperioden har ökat och få år har under 2000-talet haft kortare period än medeltalet för referensperioden. Under perioden 1960-2013 varierade vegetationsperioden mellan 170 och 290 dagar.

Klimatscenarierna visar tydligt att vegetationsperioden kan bli längre under de kommande årtiondena. Fram mot slutet av århundrandet visar RCP4.5 på en ökning med drygt 2 månader. Motsvarande för RCP8.5 ca 4 månader, vilket motsvarar att vegetationsperioden, såsom den här definieras utifrån temperatur, pågår 11 månader på året.

¹ Vegetationsperioden definieras som den del av året då dygnsmedeltemperaturen överstiger ett visst gränsvärde, som varierar för olika tillämpningar men ligger vanligen mellan +3°C och +5°C. Vegetationsperiod benämns ibland växtsäsong.

4.7 Vegetationsperiodens starttidpunkt

Observerat 1961-1990



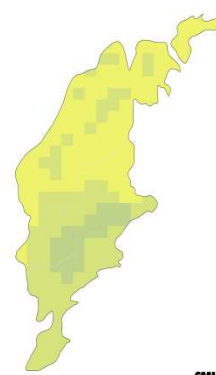
Starttidpunkt är första dagen på året i en sammanhängande fyrdagarsperiod då dygnsmedeltemperaturen överstiger 5°C. Indexet baseras enbart på beräkningar med temperatur och tar inte hänsyn till solinstrålning. Indexet ger tillsammans med vegetationsperiodens längd en uppfattning om framtida förhållanden för sådd och skördetidpunkter.

Observerat 1961-1990

Observerat 1991-2013



SMHI



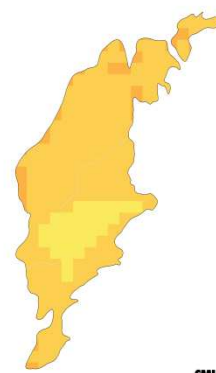
SMHI

Beräknat 2021-2050

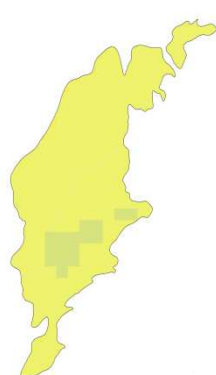
Beräknat 2069-2098



SMHI



SMHI



SMHI



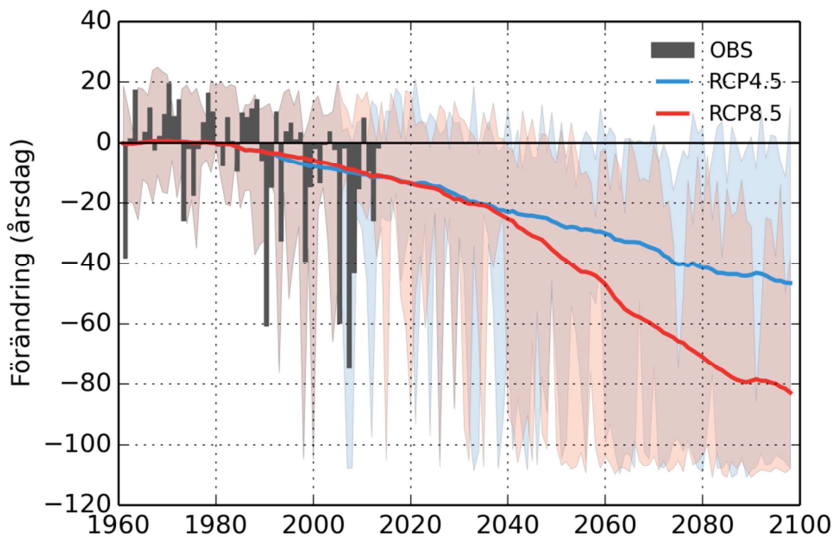
SMHI

Dagnummer

> 150
140 - 150
130 - 140
120 - 130
110 - 120
100 - 110
90 - 100
80 - 90
70 - 80
60 - 70
50 - 60
40 - 50
30 - 40
20 - 30
10 - 20
0 - 10

RCP4.5

RCP8.5



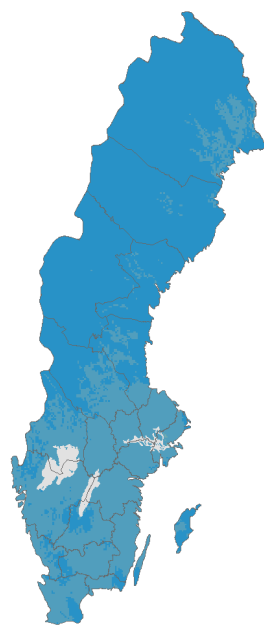
Vegetationsperiodens start definieras här som första tillfället på året när dygnsmedeltemperaturen överstiger 5°C under 4 dagar i följd. Vegetationsperiodens start räknas då från den första av dessa fyra dagar. Starttiden kan variera en del från år till år, beroende på om vintern varit lång och kall eller om milbruft tidigt förs in. Under referensperioden 1961-1990 hamnar medelvärdet för starttiden för vegetationen på dagsnummer 106, vilket motsvarar mitten på april.

Under 90-talet och 2000-talet har vegetationsperioden startat markant tidigare under flera år, vilket framgår som negativa staplar i diagrammet. Den nedåtgående trenden håller i sig under århundradet enligt beräkningarna. Enligt RCP4.5 startar vegetationsperioden i medeltal drygt 40 dagar tidigare vid seklets slut jämfört med referensperioden, vilket motsvarar ca 1 mars. Enligt RCP8.5 sker starten på vegetationsperioden vid seklets slut redan i slutet på januari.

Analyserna av vegetationsperiodens start och längd visar att vegetationsperiodens slut förändras mindre än starttidpunkten. I slutet av seklet senareläggs sluttidpunkten med 25 dagar enligt RCP4.5 och 40 dagar enligt RCP 8.5.

4.8 Värmebölja

Observerat 1961-1990



Observerat 1961-1990

Observerat 1991-2013



SMHI



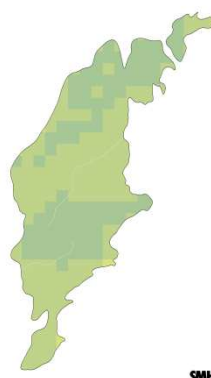
SMHI

Beräknat 2021-2050

Beräknat 2069-2098



SMHI

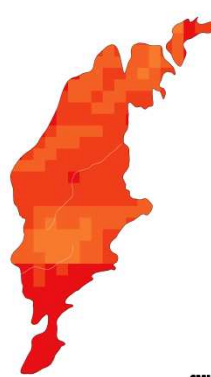


SMHI

RCP4.5



SMHI

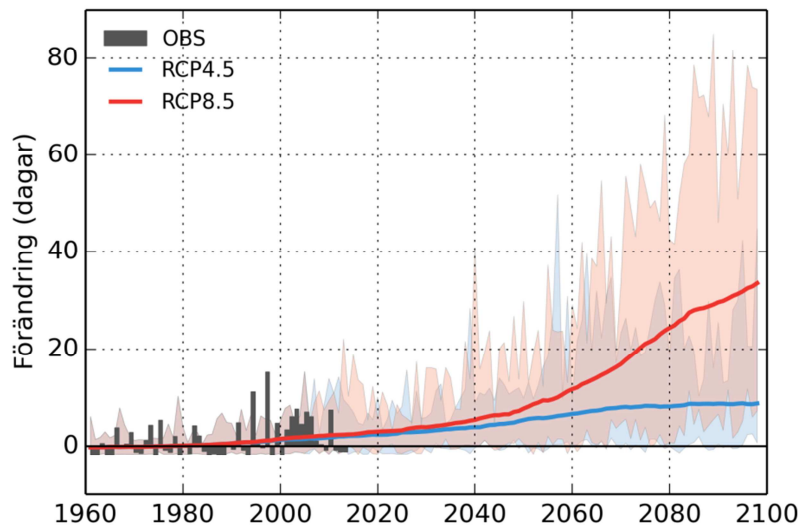


SMHI

Antal dagar

> 30
28 - 30
26 - 28
24 - 26
22 - 24
20 - 22
18 - 20
16 - 18
14 - 16
12 - 14
10 - 12
8 - 10
6 - 8
4 - 6
2 - 4
0 - 2

RCP8.5

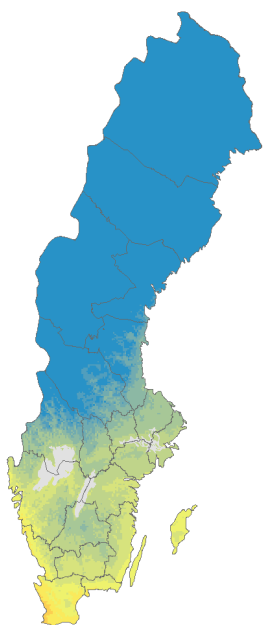


Värmeböljor är inte vanligt förekommande i Sverige generellt och inte heller på Gotland. Under perioden 1961-1990 översteg dygnsmedeltemperaturen 20°C endast vid ett fåtal tillfällen varje år. Medelvärdet för länet som helhet var 2 dagar. Det har under de senaste drygt 20 åren blivit varmare och antalet sammanhangande dagar med medeltemperaturer över 20°C har ökat, vilket framgår av karta och diagram.

Under de kommande åren visar beräkningarna på längre perioder med dygnsmedeltemperaturer över 20°C . Skillnaden är markant större för RCP8.5, för vilket värmeböljornas längd ökar till över 30 dagar i slutet av seklet.

4.9 Graddagar för uppvärmning

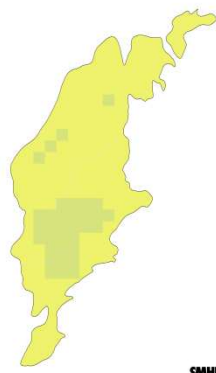
Observerat 1961-1990



Graddagar för uppvärmning är skillnaden mellan dygnsmedeltemperaturen och tröskelvärdet 17°C, summerat på ett år. En dygnsmedeltemperatur på 12°C bidrar exempelvis med 5 grader till årsomman. Dygnsmedeltemperaturer över 17°C ger inget bidrag. Graddagar för uppvärmning är ett energimått och används för att uppskatta behovet av uppvärmning i bostäder.

Observerat 1961-1990

Observerat 1991-2013



SMHI



SMHI

Beräknat 2021-2050

Beräknat 2069-2098



SMHI



SMHI

RCP4.5

Graddagar	
> 5000	
4800 - 5000	
4600 - 4800	
4400 - 4600	
4200 - 4400	
4000 - 4200	
3800 - 4000	
3600 - 3800	
3400 - 3600	
3200 - 3400	
3000 - 3200	
2800 - 3000	
2600 - 2800	
2400 - 2600	
2200 - 2400	
< 2200	

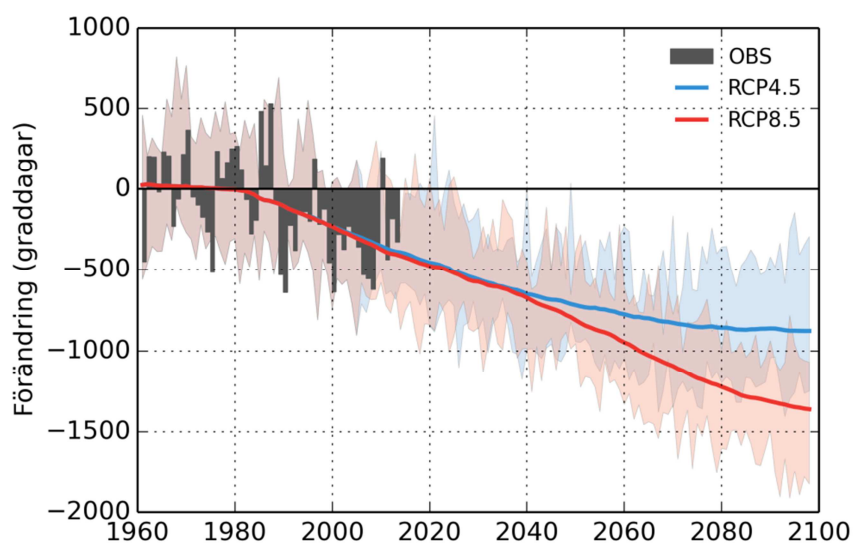
RCP8.5



SMHI



SMHI



Behovet av uppvärmning minskar. För referensperioden 1961-1990 var antalet graddagar 3761 i genomsnitt för länet. Under de senaste årtiondena har uppvärmningsbehovet minskat i medeltal, vilket framgår både av kartor och av diagram. Den utvecklingen ser ut att fortsätta och om 25 år är enligt beräkningarna antalet graddagar för länet drygt 3000. RCP4.5 visar på drygt 2800 graddagar för länet vid seklets slut, med en variationsbredd på 2500-3400 graddagar. RCP8.5 anger en minskning ned mot 2400 graddagar, med variationsbredd 2000-2700 graddagar.

4.10 Graddagar för kyling

Observerat 1961-1990



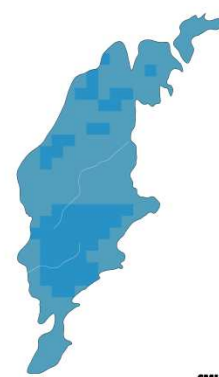
Graddagar för kyling är summan av hela årets dygnsmitteltemperaturer över 20°C. En dygnsmitteltemperatur på 22°C bidrar exempelvis med 2 grader till årssumman. Graddagar för kyling är ett energimått och används för att uppskatta behovet av kyling i bostäder.

Observerat 1961-1990

Observerat 1991-2013



SMHI



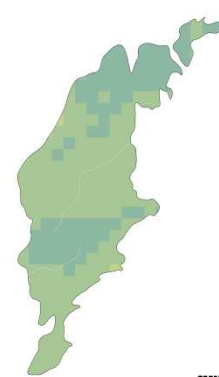
SMHI

Beräknat 2021-2050

Beräknat 2069-2098



SMHI



SMHI

RCP4.5

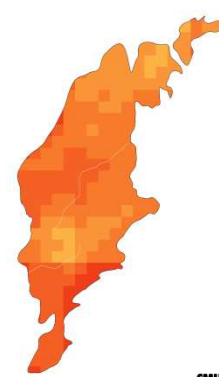
RCP8.5

Graddagar

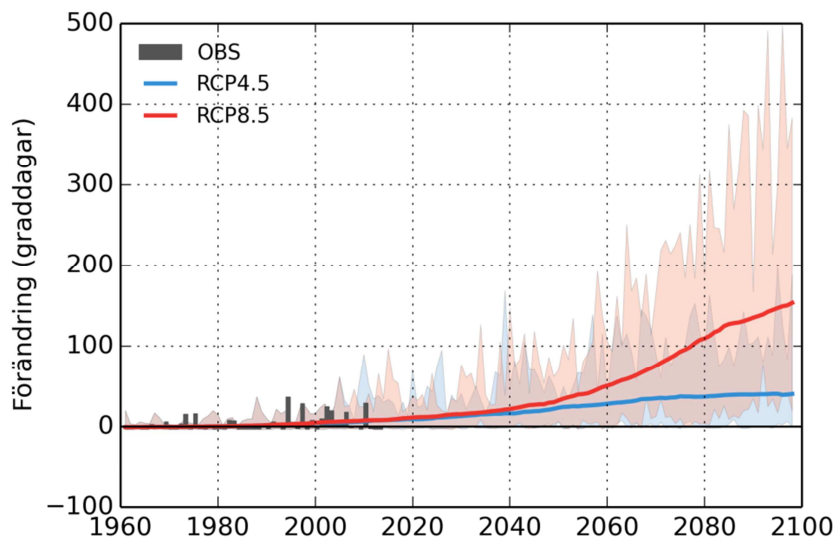
> 150
140 - 150
130 - 140
120 - 130
110 - 120
100 - 110
90 - 100
80 - 90
70 - 80
60 - 70
50 - 60
40 - 50
30 - 40
20 - 30
10 - 20
0 - 10



SMHI



SMHI



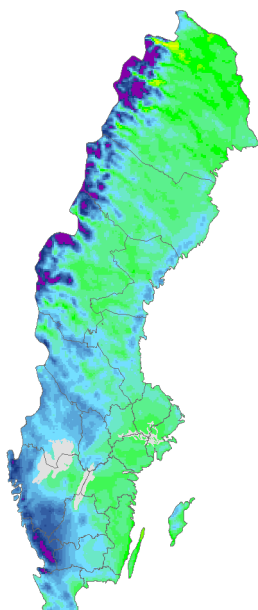
Behoven av kylnings har hittills varit små i Sverige. För Gotland var medeltalet för referensperioden 1961-1990 ca 3 graddagar, enligt den definition som här används. Kylningsbehovet ökar med ökande sommartemperaturer och RCP8.5 visar en markant ökning mot slutet av seklet till i medeltal 150 graddagar.

Behovet av energi för kylnings förblir dock mycket litet i jämförelse med uppvärmningsbehovet, även i framtiden.

5 Nederbörd

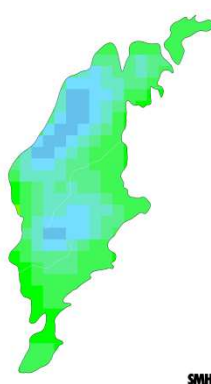
5.1 Årsmedelnederbörd

Observerat 1961-1990

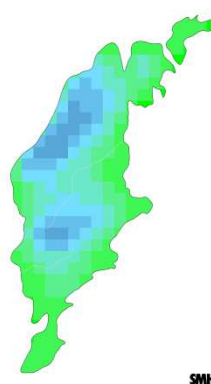


Observerat 1961-1990

Observerat 1991-2013



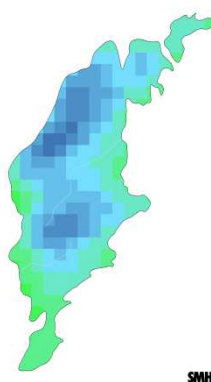
SMHI



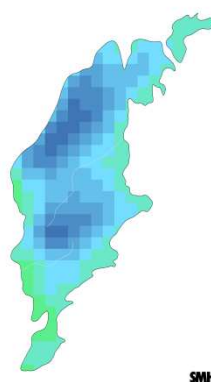
SMHI

Beräknat 2021-2050

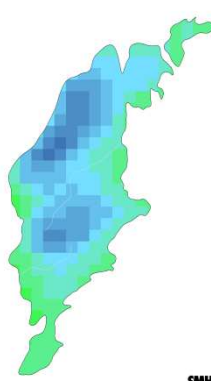
Beräknat 2069-2098



SMHI



SMHI

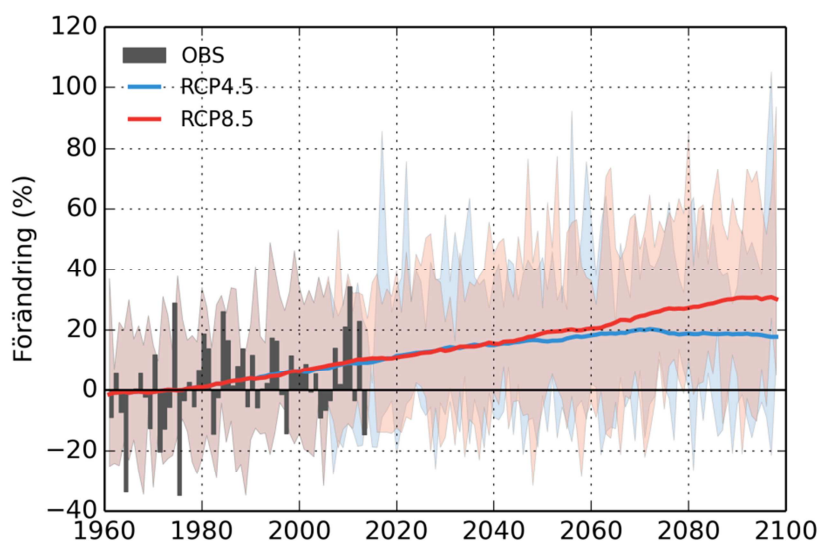
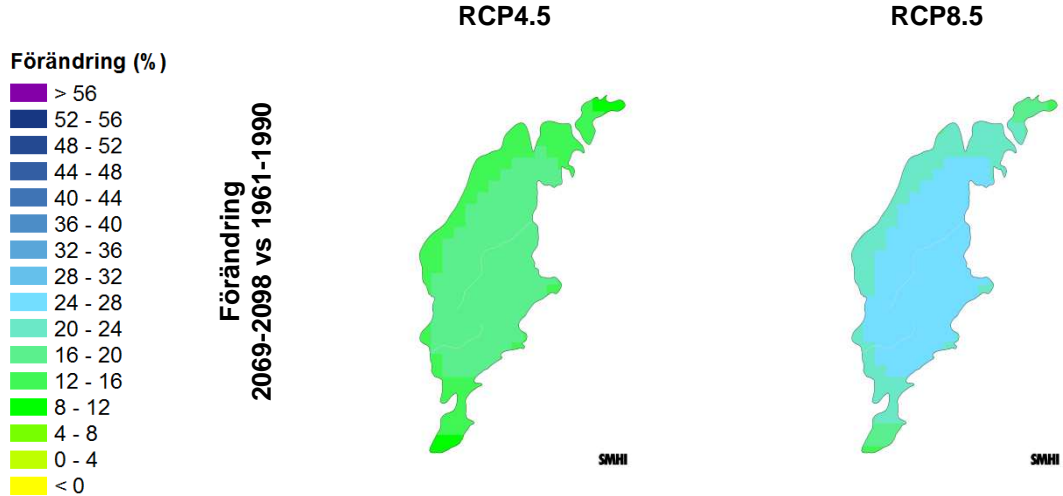


SMHI

RCP4.5

RCP8.5

Nederbörd (mm)
> 1100
1050 - 1100
1000 - 1050
950 - 1000
900 - 950
850 - 900
800 - 850
750 - 800
700 - 750
650 - 700
600 - 650
550 - 600
500 - 550
450 - 500
400 - 450
< 400

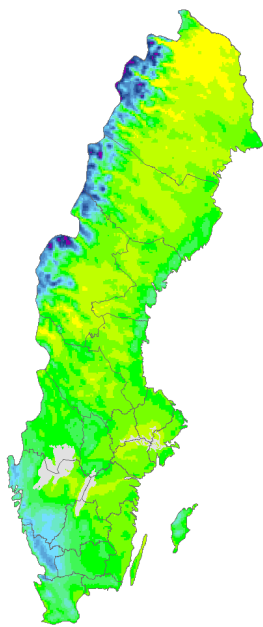


Gotlands län tillhör den mindre nederbörliga östra delen av landet, vilket framgår av Sverigekartan. Årsmedelnederbörden i länet var under perioden 1961-1990 634 mm. Nederbörden har ökat något och särskilt 2010 sticker ut i statistiken. Den blötare tendensen syns även i framtidsberäkningarna. I jämförelse med referensperioden ses 20-30 % ökad årsnederbörd vid seklets slut (motsvarande årsnederbördens i Värmland under referensperioden).

5.2 Medelnederbörd vinter

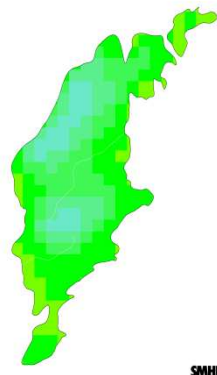
Observerat 1961-1990

Vinter definieras här som perioden december-februari. Kartorna visar medelvärdet av varje periods summerade dygnsnederbörd.

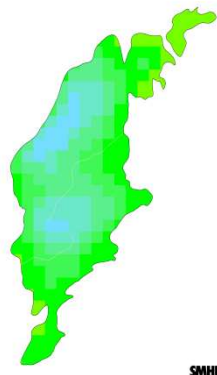


Observerat 1961-1990

Observerat 1991-2013



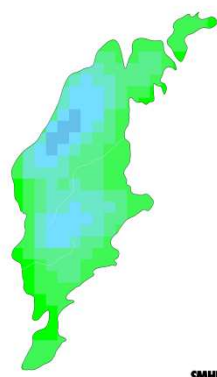
SMHI



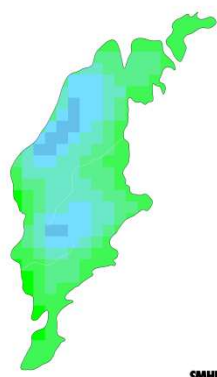
SMHI

Beräknat 2021-2050

Beräknat 2069-2098



SMHI



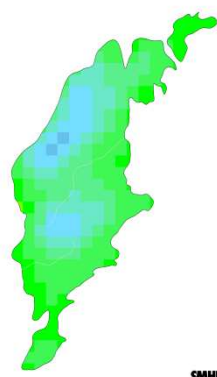
SMHI

RCP4.5

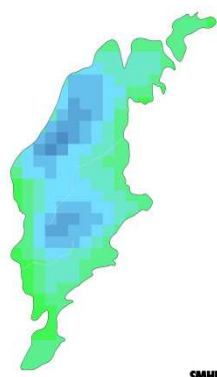
Nederbörd (mm)

> 380
360 - 380
340 - 360
320 - 340
300 - 320
280 - 300
260 - 280
240 - 260
220 - 240
200 - 220
180 - 200
160 - 180
140 - 160
120 - 140
100 - 120
< 100

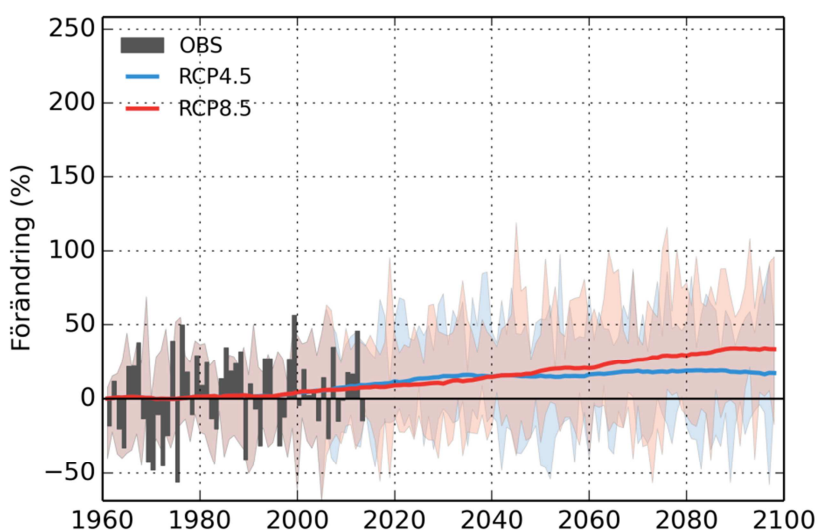
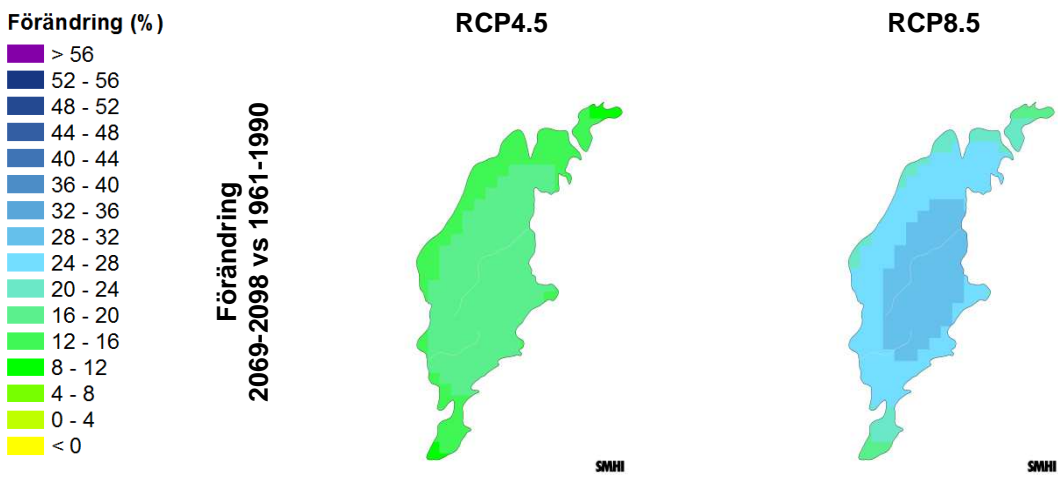
RCP8.5



SMHI



SMHI

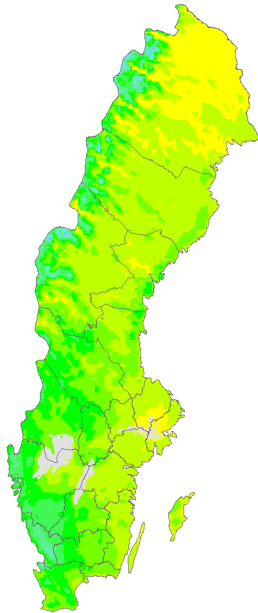


Under vintern har nederbördens i länet varit 164 mm i medeltal under referensperioden 1961-1990. Variationen mellan år är stor (70-250 mm). Beräkningarna visar ökad nederbörd under vintern (20-40 %), men med fortsatt stor variation mellan åren. Med tanke på att temperaturen ser ut att öka under vintern och det blir färre dagar med minusgrader kommer nederbördens alltmer sällan i form av snö.

5.3 Medelnederbörd vår

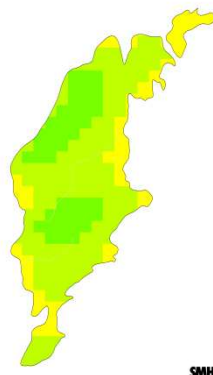
Observerat 1961-1990

Vår definieras här som perioden mars-maj. Kartorna visar medelvärdet av varje periods summerade dygnsnederbörd.

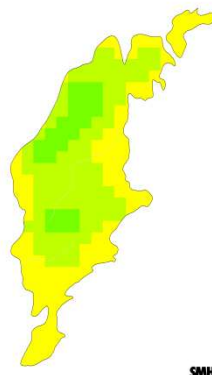


Observerat 1961-1990

Observerat 1991-2013



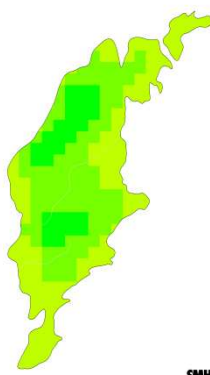
SMHI



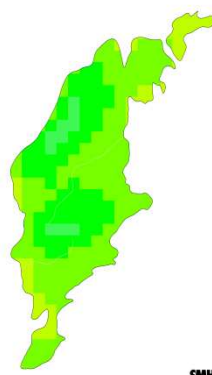
SMHI

Beräknat 2021-2050

Beräknat 2069-2098



SMHI



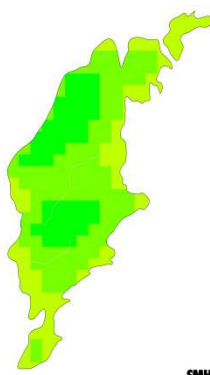
SMHI

RCP4.5

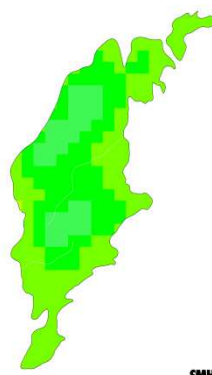
Nederbörd (mm)

> 380
360 - 380
340 - 360
320 - 340
300 - 320
280 - 300
260 - 280
240 - 260
220 - 240
200 - 220
180 - 200
160 - 180
140 - 160
120 - 140
100 - 120
< 100

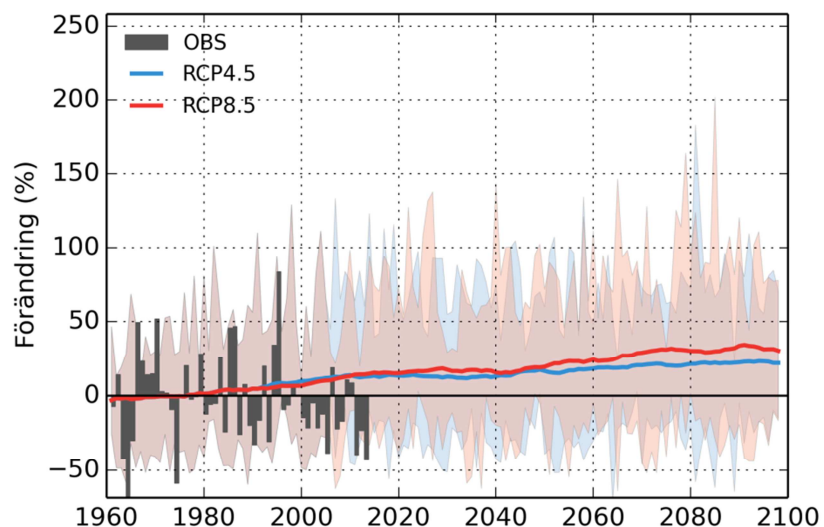
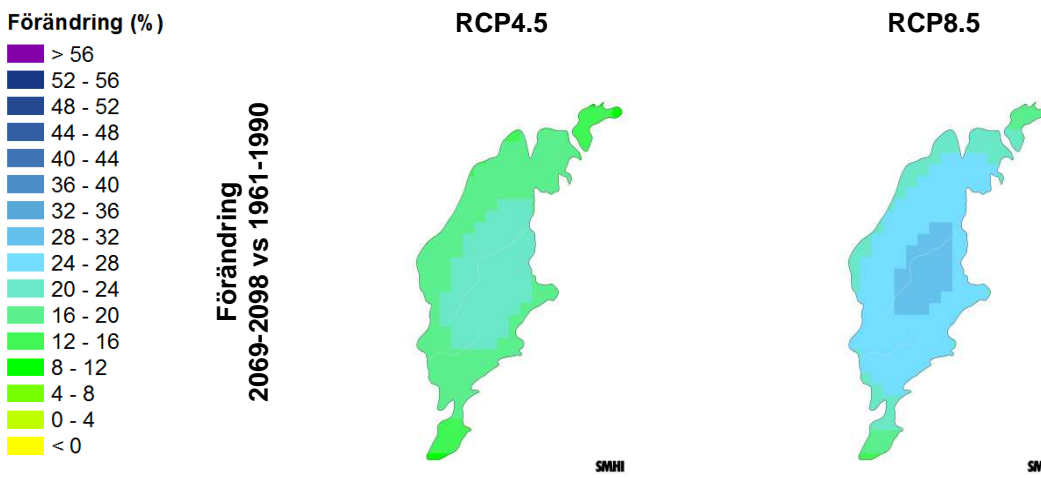
RCP8.5



SMHI



SMHI

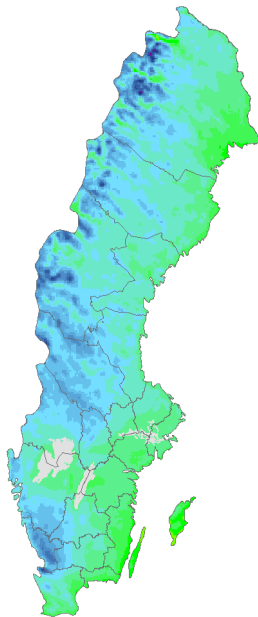


Vårväderbörden summeras till 111 mm i medeltal för perioden 1961-1990, men variationen mellan år är stor (35-200 mm). I slutet av seklet väntas en ökning av vårväderbörden med ca 20-30 %, och med fortsatt stor variation mellan åren.

5.4 Medelnederbörd sommar

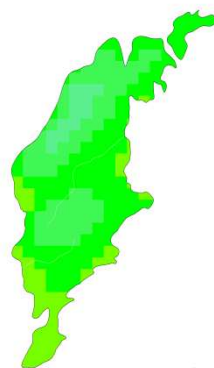
Observerat 1961-1990

Sommar definieras här som perioden juni-augusti. Kartorna visar medelvärdet av varje periods summerade dygnsnederbörd.

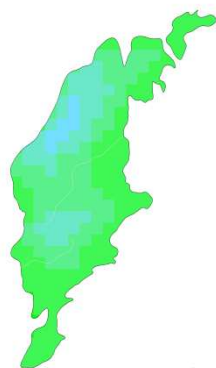


Observerat 1961-1990

Observerat 1991-2013



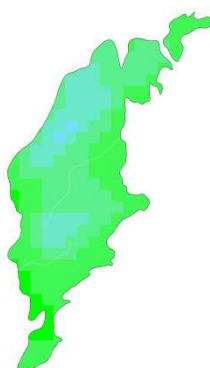
SMHI



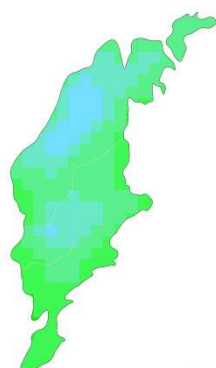
SMHI

Beräknat 2021-2050

Beräknat 2069-2098



SMHI



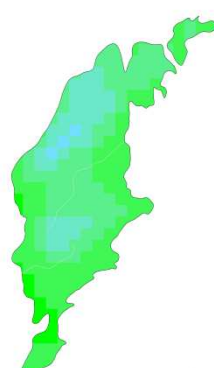
SMHI

RCP4.5

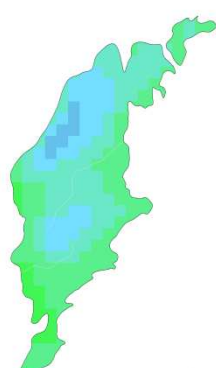
Nederbörd (mm)

> 380
360 - 380
340 - 360
320 - 340
300 - 320
280 - 300
260 - 280
240 - 260
220 - 240
200 - 220
180 - 200
160 - 180
140 - 160
120 - 140
100 - 120
< 100

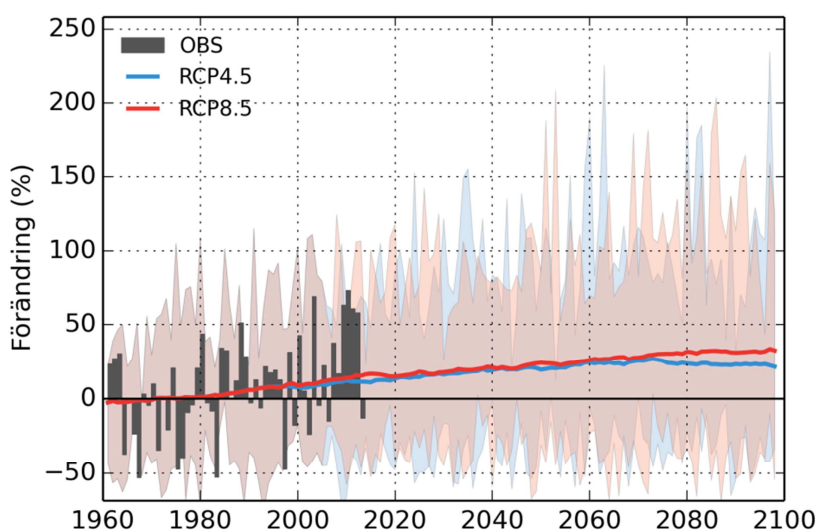
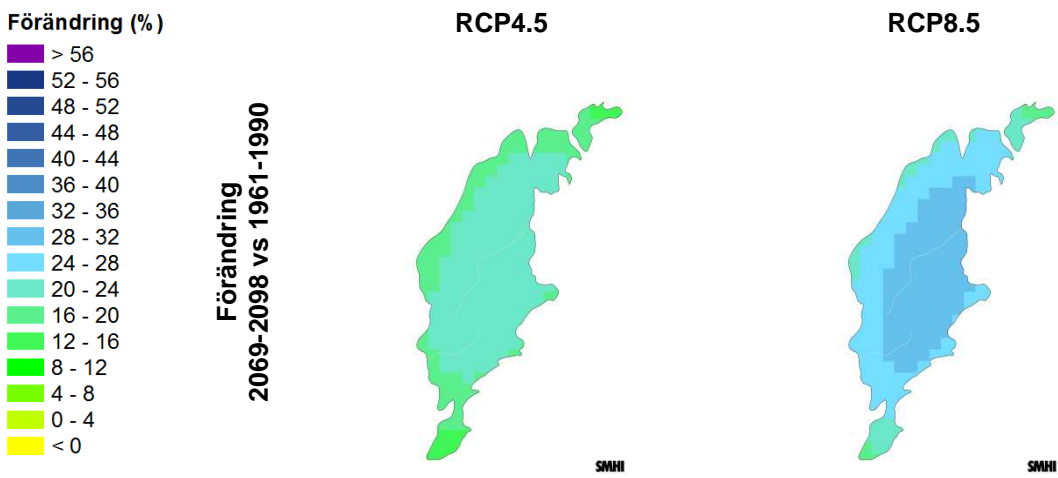
RCP8.5



SMHI



SMHI



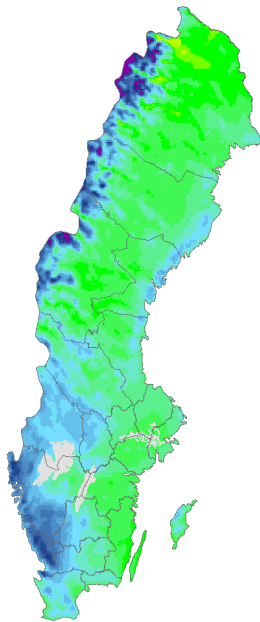
Sommarnederbörd var i medeltal 156 mm för länet 1961-1990, vilket är mindre än vad fastlandet mottog för samma period. Kartan för perioden 1991-2013 uppvisar blötare förhållanden än för referensperioden, vilket även framgår av diagrammet.

Framtidsberäkningarna visar på ökad sommarnederbörd i jämförelse med referensperioden och de två scenarierna är förhållandevis samstämmiga med 20-30 % ökad sommarnederbörd vid slutet av seklet jämfört med referensperioden. Detta medför att det i slutet av seklet faller ungefär lika mycket nederbörd under sommaren som det idag gör under hösten.

5.5 Medelnederbörd höst

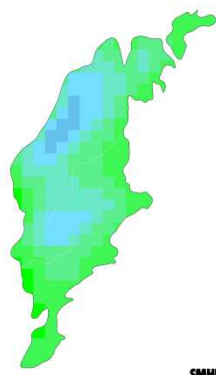
Observerat 1961-1990

Höst definieras här som perioden september-november. Kartorna visar medelvärdet av varje periods summerade dygnsnederbörd.

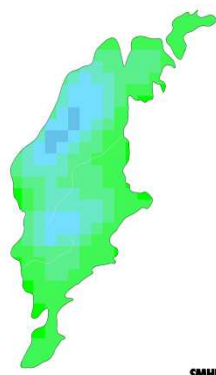


Observerat 1961-1990

Observerat 1991-2013



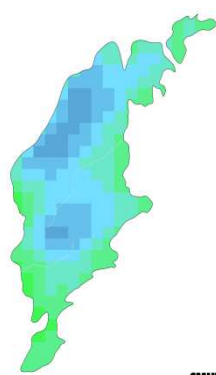
SMHI



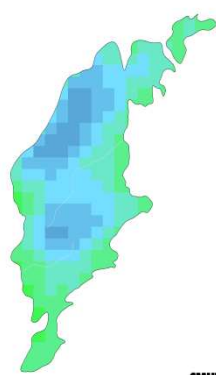
SMHI

Beräknat 2021-2050

Beräknat 2069-2098



SMHI



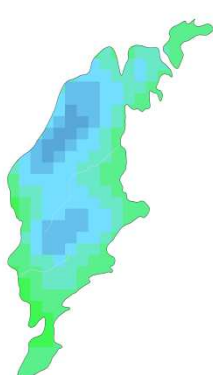
SMHI

RCP4.5

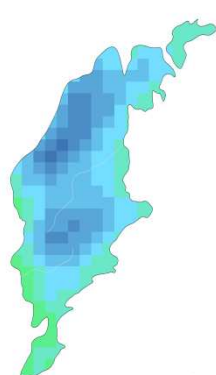
RCP8.5

Nederbörd (mm)

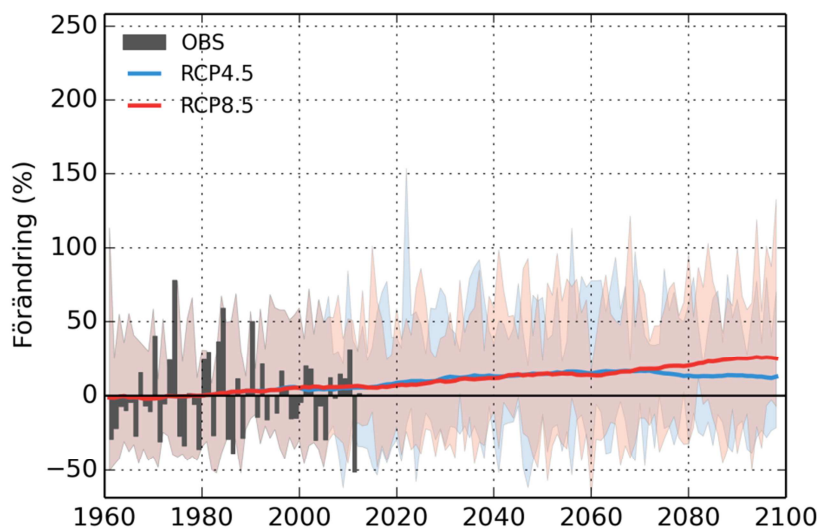
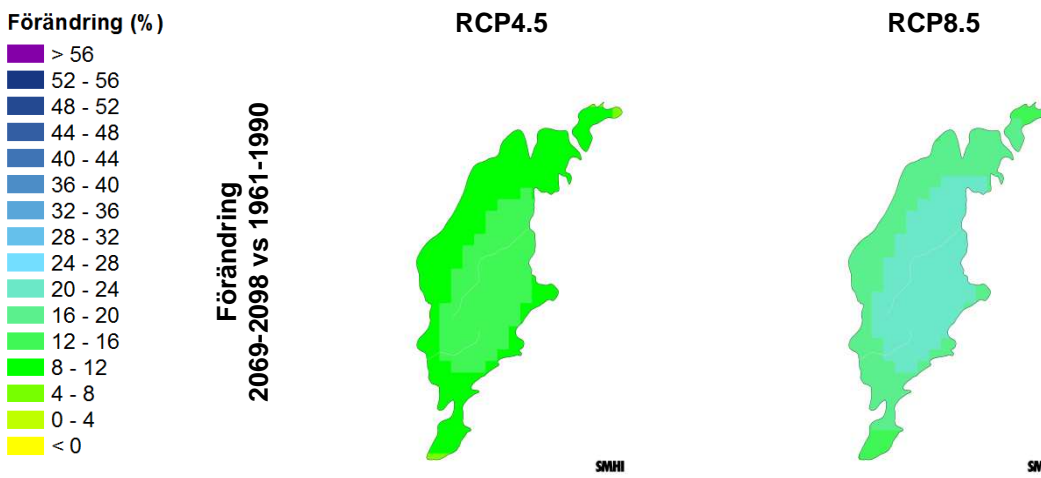
> 380
360 - 380
340 - 360
320 - 340
300 - 320
280 - 300
260 - 280
240 - 260
220 - 240
200 - 220
180 - 200
160 - 180
140 - 160
120 - 140
100 - 120
< 100



SMHI



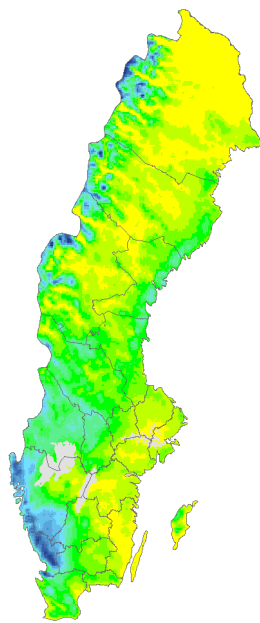
SMHI



Höstnederbörden på Gotland är i medeltal 195 mm för referensperioden 1961-1990 och mellanårsvariationen är stor (100-350 mm). En ökning av höstnederbörden ses i beräkningarna på ca 15-25 % vid slutet av seklet jämfört med referensperioden och variationen mellan år kvarstår.

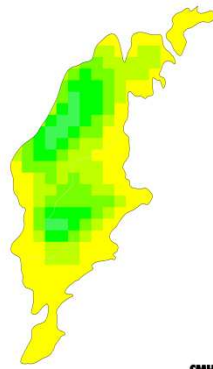
5.6 Antal dagar med mer än 10 mm nederbörd

Observerat 1961-1990

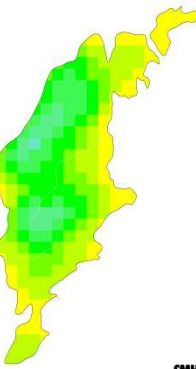


Observerat 1961-1990

Observerat 1991-2013



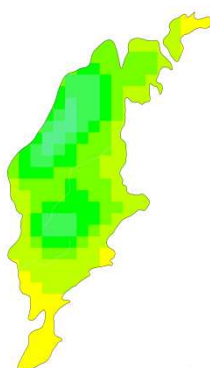
SMHI



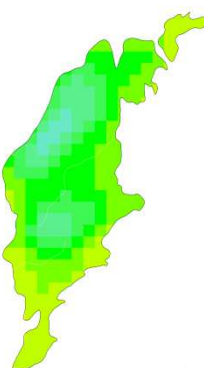
SMHI

Beräknat 2021-2050

Beräknat 2069-2098



SMHI



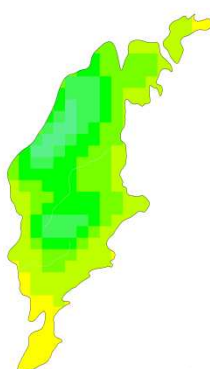
SMHI

RCP4.5

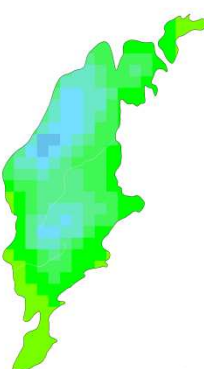
RCP8.5

Antal dygn

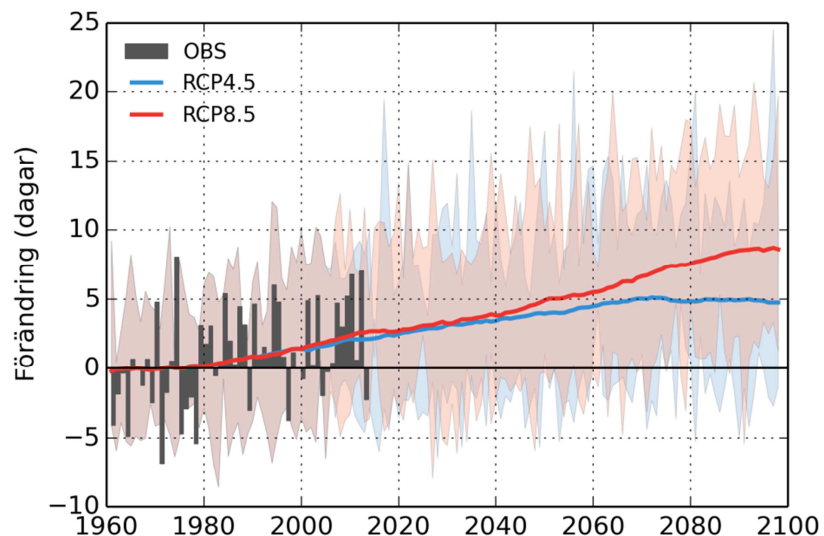
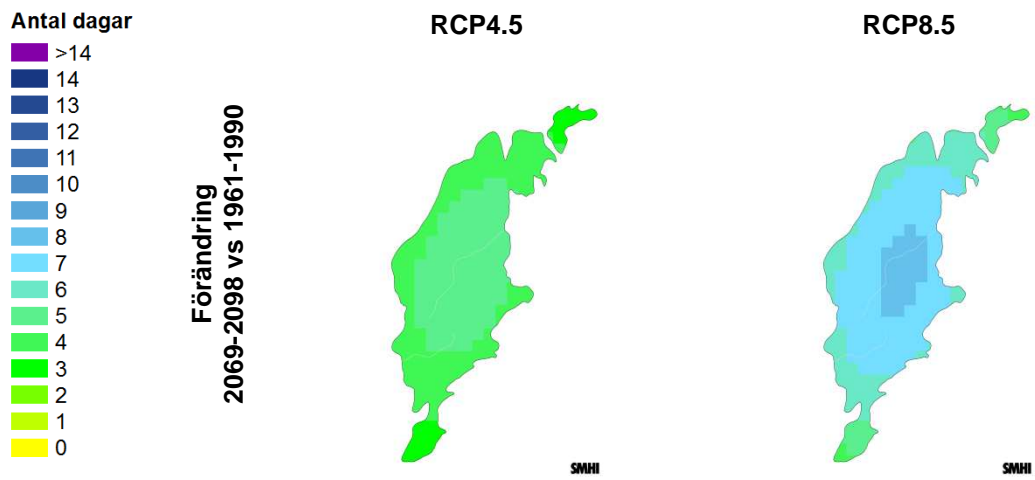
> 40
38 - 40
36 - 38
34 - 36
32 - 34
30 - 32
28 - 30
26 - 28
24 - 26
22 - 24
20 - 22
18 - 20
16 - 18
14 - 16
12 - 14
< 12



SMHI



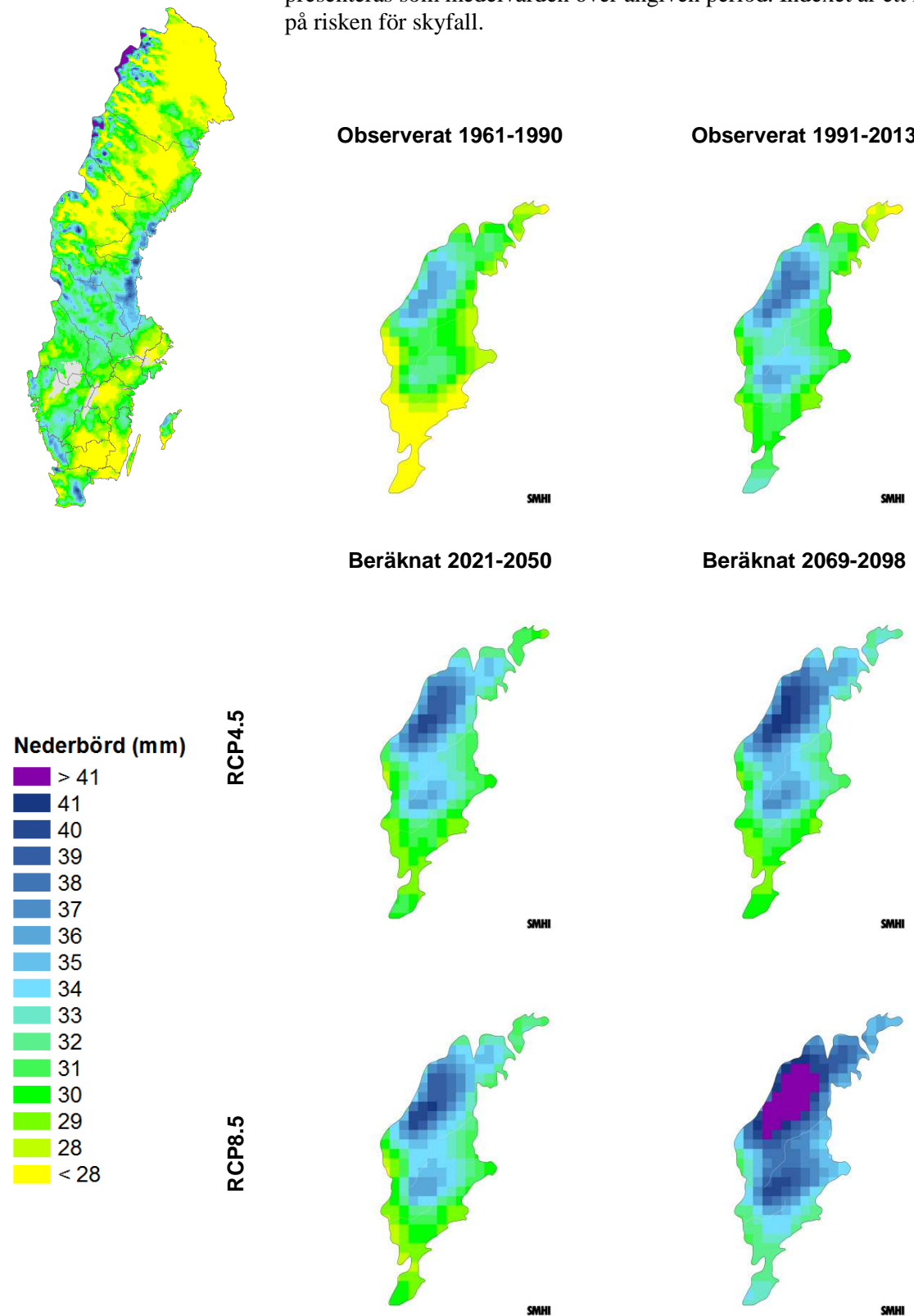
SMHI

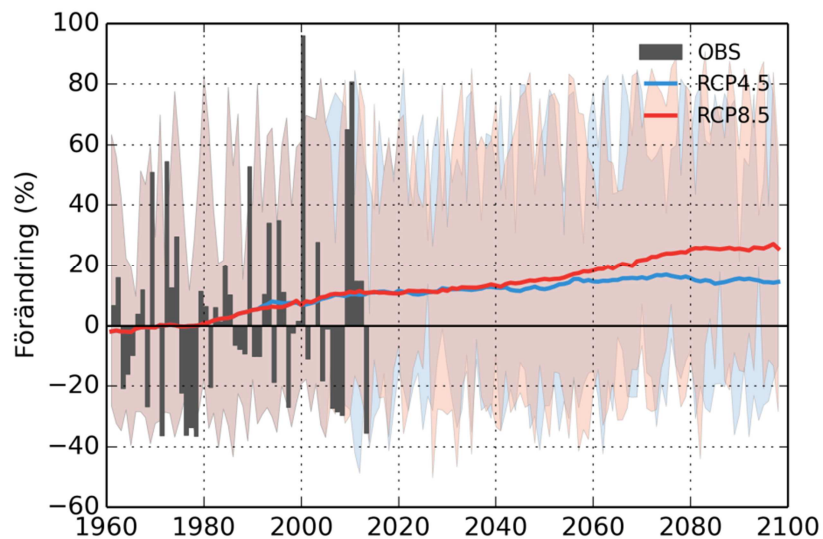


Under referensperioden 1961-1990 uppmättes mer än 10 mm nederbörd på ett dygn i genomsnitt 13 gånger på ett år. Av kartor och diagram framträder en ökning under 1991-2013 och länet kan väntas få fler sådana tillfällen i framtiden. Enligt RCP4.5 ökar antalet dagar med ca 5 och enligt RCP8.5 med ca 9.

5.7 Maximal dygnsnederbörd

Observerat 1961-1990 Indexet är ett mått på årets största dygnsnederbörd. Resultaten presenteras som medelvärdet över angiven period. Indexet är ett mått på risken för skyfall.

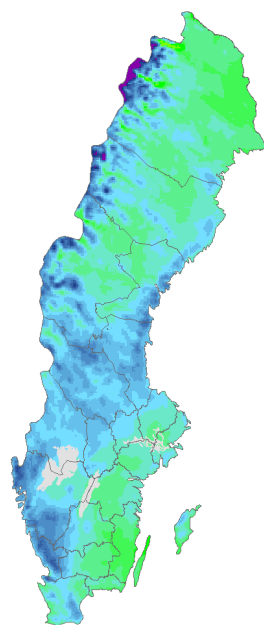




Det geografiska medelvärdet av årets största dygnsnederbörd för perioden 1961-1990 är 30 mm, men som diagrammet visar varierar mängden mycket från år till år. Ett enskilt regn kan ge betydligt större regnmängder. Scenarierna visar på en ökning av dygnsnederbörden, RCP8.5 ger en ökning på ca 25 % till slutet av seklet och RCP4.5 visar på något mindre förändring.

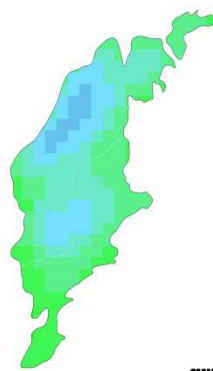
5.8 Maximal 7-dygnsnederbörd

Observerat 1961-1990

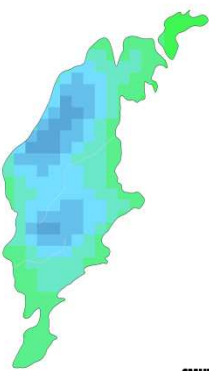


Indexet är ett mått på årets största 7-dygnsnederbörd. Resultaten presenteras som medelvärdet över angiven period. Indexet kan till exempel användas för bedömning av förändringar i vattenflöde i små och medelstora naturvattendrag och diken.

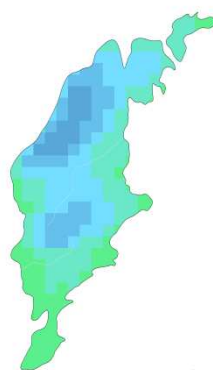
Observerat 1961-1990



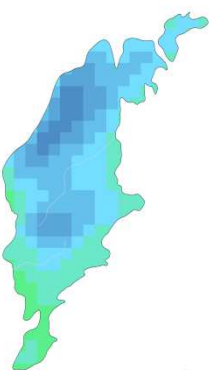
Observerat 1991-2013



Beräknat 2021-2050



Beräknat 2069-2098

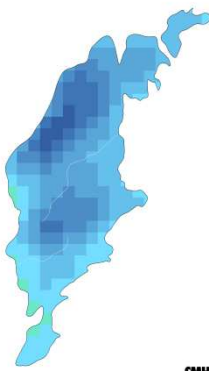
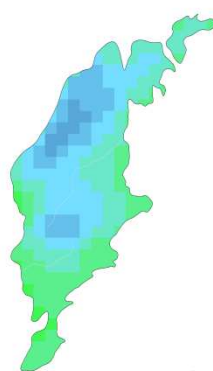


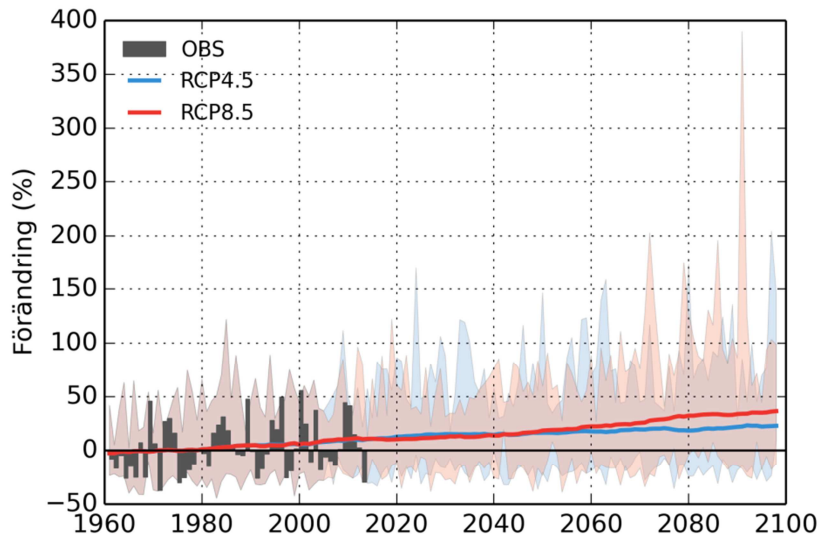
Nederbörd (mm)

> 105
100 - 105
95 - 100
90 - 85
85 - 90
80 - 85
75 - 80
70 - 75
65 - 70
60 - 65
55 - 60
50 - 55
45 - 50
40 - 45
35 - 40
<35

RCP4.5

RCP8.5





Det geografiska medelvärdet av årets största 7-dygnsnederbörd för perioden 1961-1990 är 60 mm, men som diagrammet visar varierar mängden mycket från år till år. Ett enskilt regn kan ge större regnmängder. Scenarierna visar på en ökning av 7-dygnsnederbörden, RCP8.5 ger en ökning på ca 40 % till slutet och RCP4.5 visar på något mindre förändring.

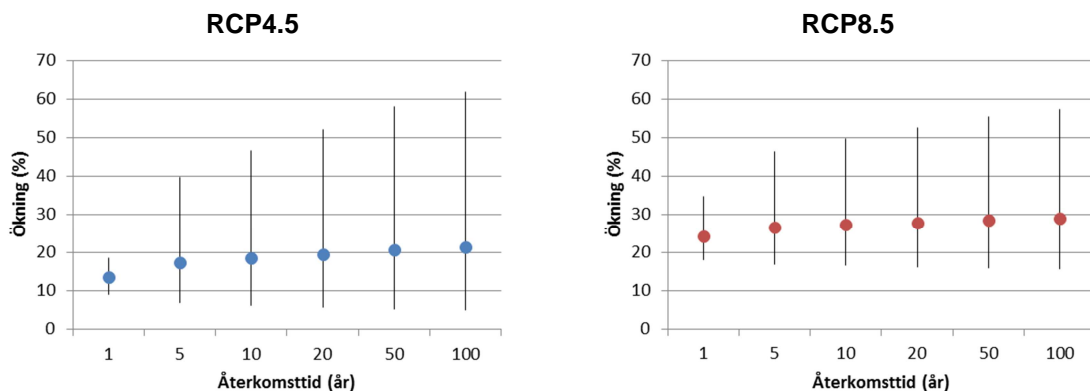
Det geografiska mönstret för maximal 7-dygnsnederbörd liknar det för 1-dygnsnederbörd och andra nederbördsindex dvs. mer nederbörd över de inre delarna och särskilt i nordväst.

5.9 Förändring av korttidsnederbörd

I föregående avsnitt har nederbörd analyserats utifrån dygnsvärden, både på års-, säsongs- och dygnsbasis. SMHI har även gjort studier av hur intensiv nederbörd kan förändras i framtiden.

Som underlag till Dricksvattenutredningen publicerades en rapport som bland annat innehåller kartor på Sverigeskala över så kallad framtida extrem korttidsnederbörd (Eklund m.fl., 2015). Baserat på den studien har nedanstående diagram framtagits för Gotlands län över extrem nederbörd med 1-timmes varaktighet (figur 4). Diagrammen beskriver den procentuella ökningen av 1-timmesnederbörd för perioden 2069-2098 jämfört med referensperioden 1961-1990.

Resultatet presenteras för olika återkomsttider, ett mått på hur ofta förekomsten av extrema naturliga händelser kan förväntas. Med en händelses återkomsttid menas att händelsen i genomsnitt inträffar eller överträffas en gång under denna tid. Se ytterligare förklaring i Ordlistan.



Figur 4. Procentuell förändring av nederbörd med varaktigheten 1 timme mellan perioderna 2069-2098 och 1961-1990 för Gotlands län. Punkterna representerar medianvärdet och vertikala streck visar spridningen mellan de olika modellberäkningarna.

Den extrema 1-timmesnederbördens förväntas öka, och RCP8.5 visar på större förändring än RCP4.5. Ökningen är störst för de längre återkomsttiderna, dvs. de mer ovanliga extrema skurarna, 20-30%. Dock visar beräkningarna även på 15-25 % ökning för de årligen återkommande skurarna.

6 Total medeltillrinning

Avsnittet behandlar den totala tillrinningen dvs. det ackumulerade flödesbidraget från alla avrinningsområden som ligger uppströms, även utanför länsgränsen. Indexen kan vara av intresse för att bedöma vattentillgång till kraftproduktion och vattenuttag, samt för planering av markanvändning, som exploatering i områden kring sjöar och vattendrag. I Figur 5 är de utvalda vattendragen för analys av total tillrinning markerade med punkter. Gula områden används för analyser av lokal tillrinning, vilka redovisas i avsnitt 7.



Figur 5. Kartan visar avrinningsområden (röda linjer) och de markerade vattendragspunkterna relaterar till diagrammen över total tillrinning i rapporten. De gulmarkerade områdena avser beräkningarna för lokal tillrinning och markfuktighet. Gotlands län markeras med grå linje.

6.1 Förändrad total medeltillrinning för år och säsonger

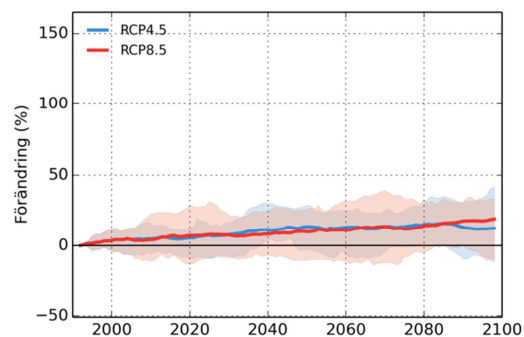
I diagrammen på följande sidor redovisas beräkningar av framtidens hydrologiska förhållanden avseende total tillrinning.

Framtidsberäkningarna av den totala årsmedeltillrinningen visar en ökning med ca 20 % vid seklets slut jämfört med referensperioden. Störst procentuell ökning kan ses för vintern, ca 50 %, vilket också är den största absoluta ökningen eftersom tillrinningen är störst då (se även kapitel 8). Att tillrinningen ökar under vintern beror på att nederbördens ökar samt att den sällan lagras som snö. Även för hösten ser totala medeltillrinningen ut att öka beroende på nederbördsoökning.

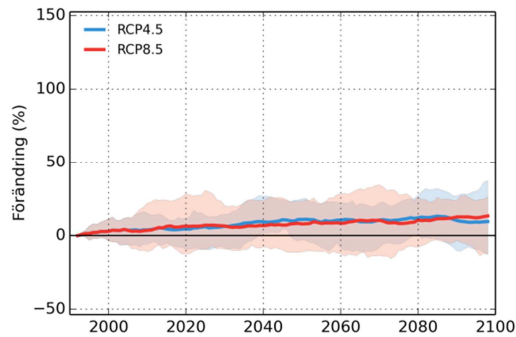
Totala medeltillrinningen vår och sommar minskar enligt beräkningarna. Det kan kopplas till ökad avdunstning. Eftersom tillrinningen under sommaren är låg kan även små förändringar vara betydelsefulla för vattentillgången.

Förändrad total årsmedeltillrinning

Gothemsån

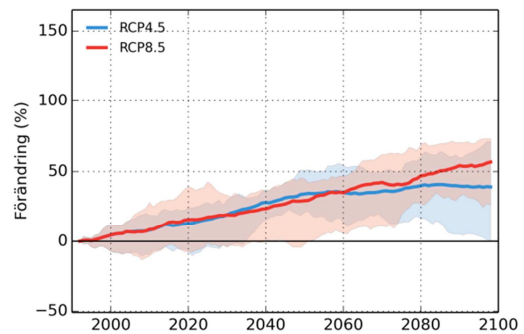


Snoderån

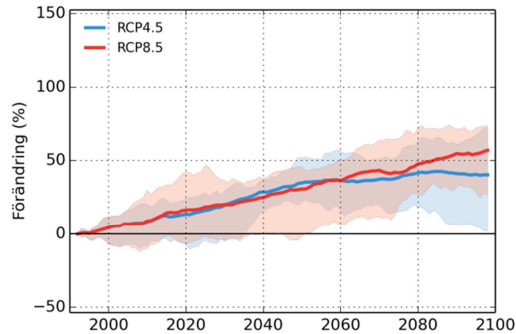


Förändrad total medeltillrinning vinter

Gothemsån

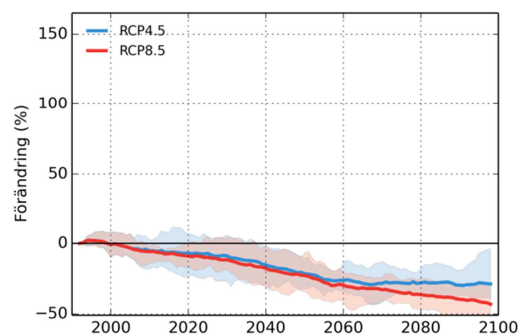


Snoderån

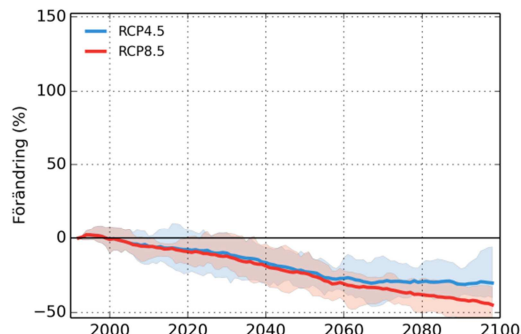


Förändrad total medeltillrinning vår

Gothemsån

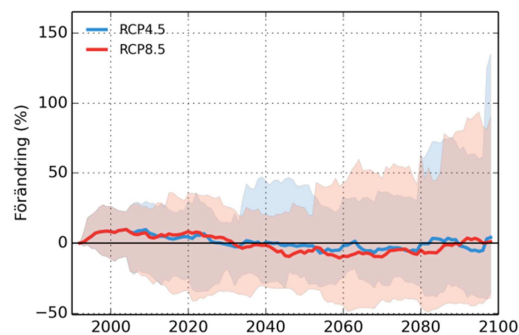


Snoderån

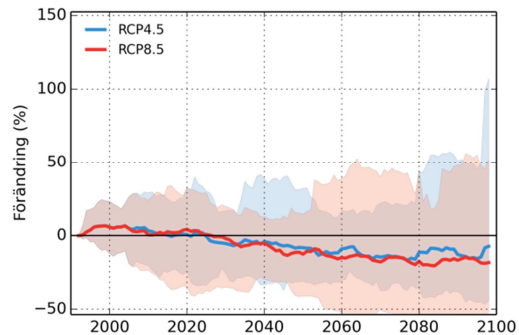


Förändrad total medeltillrinning sommar

Gothemsån

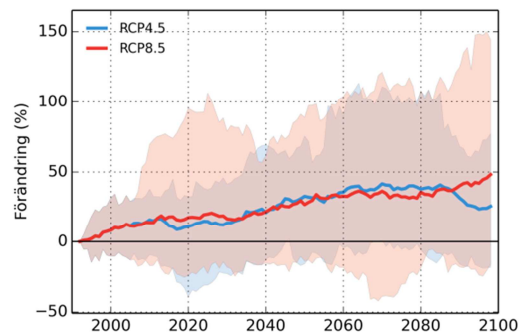


Snoderån

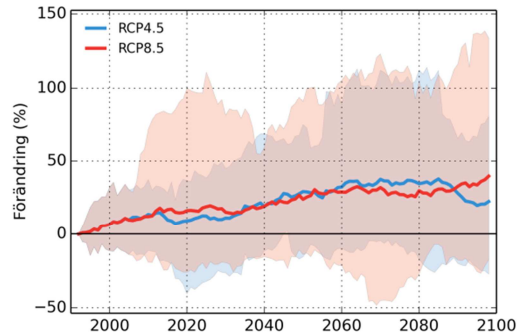


Förändrad total medeltillrinning höst

Gothemsån

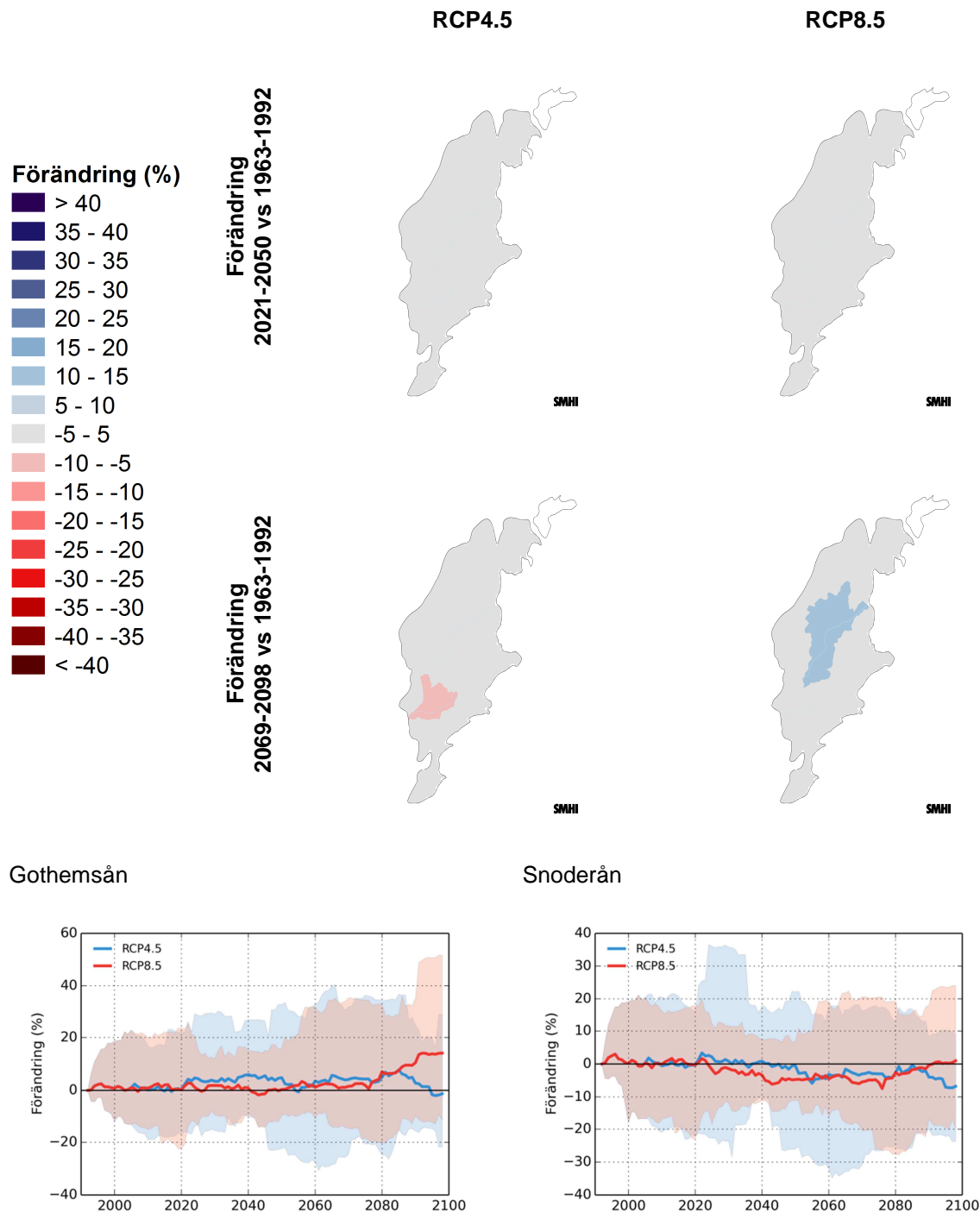


Snoderån



6.2 Förändrad total 10-årstillrinning

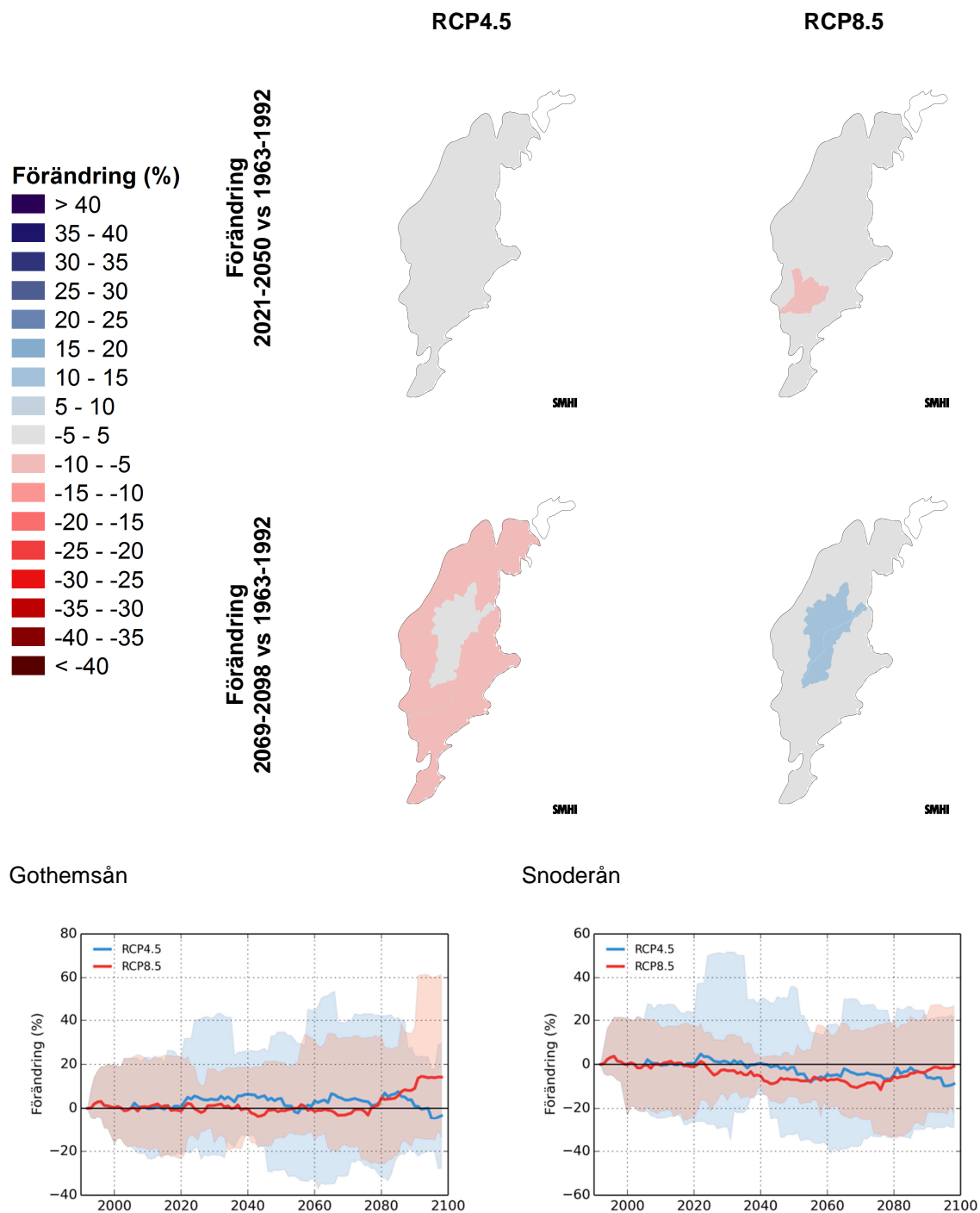
Kartorna visar den procentuella förändringen jämfört med medelvärdet för referensperioden. Indexet avser total dygnsmedeltillrinning med återkomsttid 10 år. Kartor och diagram ger en uppfattning om hur relativt vanliga högflöden kommer att öka eller minska och var det sker. Det är speciellt intressant för områden som idag lätt översvämmas.



För tillrinning med återkomsttid 10 år ses inga stora förändringar. För Gothenbsån ses en liten ökning, men mot slutet av seklet pekar scenarierna åt olika håll (0-15 %). För Snoderån ses en liten minskning under kommande årtionden.

6.3 Förändrad total 100-årstillrinning

Kartorna visar den procentuella förändringen jämfört med medelvärdet för referensperioden. Indexet avser total dygnsmedeltillrinning med återkomsttid 100 år och kan vara till hjälp vid bedömningar av översvämningsrisker längs sjöar och vattendrag.



Liksom för tillrinning med 10 års återkomsttid visar tillrinning med 100 års återkomsttid på små förändringar. Scenarierna pekar åt olika håll avseende perioden mot slutet av seklet, men marginellt eftersom det rör sig om små skillnader.

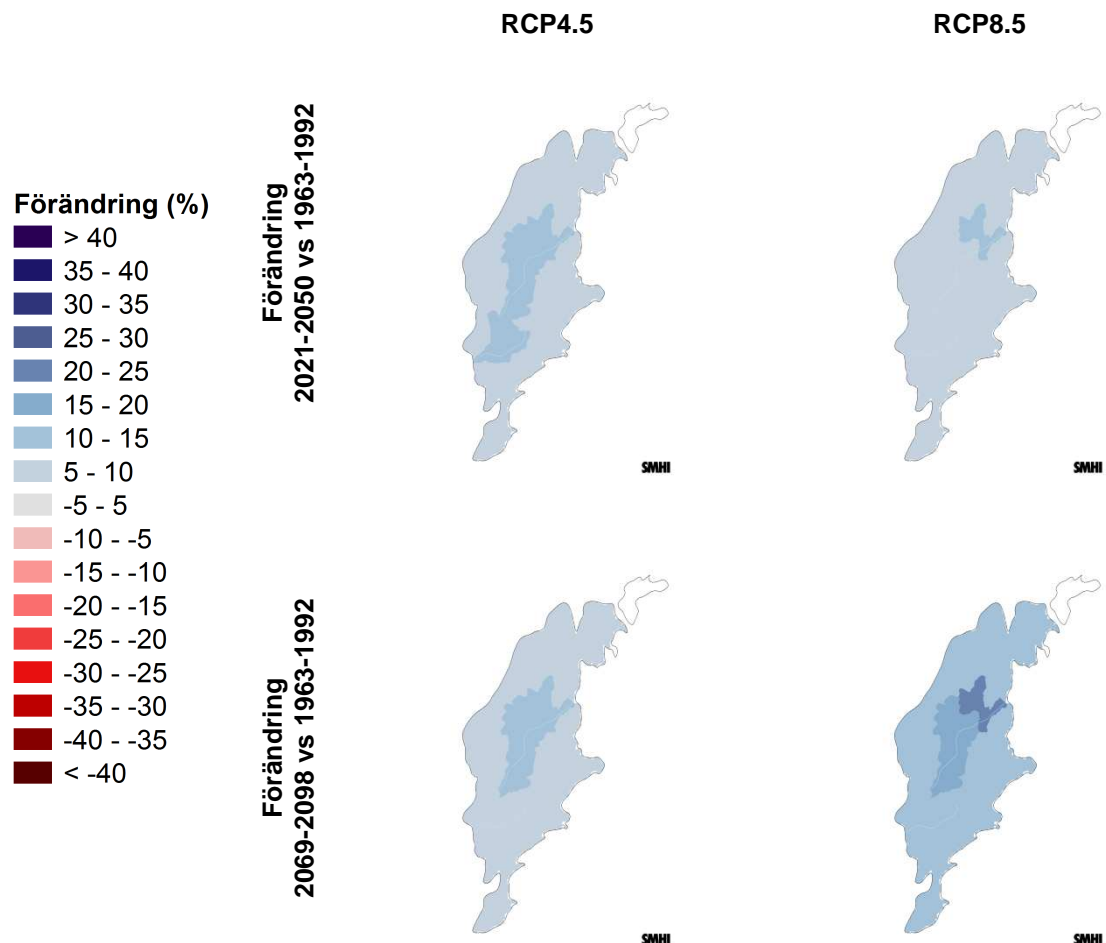
7 Lokal medeltillrinning

Avsnittet behandlar den lokala tillrinningen, dvs. flödesbidraget från enbart det aktuella avrinningsområdet (utan bidrag från avrinningsområden som ligger uppströms). Detta ger en bild av hur mindre vattendrag vars vattenföring² enbart beror på lokala förhållanden, påverkas. Indexen kan användas för att se hur klimatförändringar förväntas förändra de lokala flödesmängderna, vilka bland annat påverkar förutsättningarna för liv i vattnet. Indexen kan även användas för att bedöma förändring av potentialen för kraftproduktion i mindre vattendrag.

Kartorna visar den procentuella förändringen jämfört med medelvärdet för referensperioden. Diagram visas i detta avsnitt för två delavrinningsområden, Gothemsån och Snoderån, vilka är markerade i Figur 5.

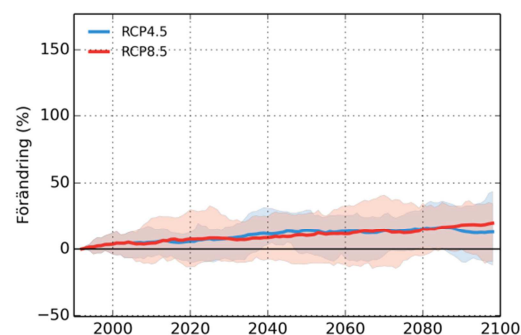
7.1 Förändrad lokal årsmedeltillrinning

Kartorna visar den procentuella förändringen jämfört med medelvärdet för referensperioden. Indexet avser 30-årsmedelvärden av tillrinning på årsbasis.

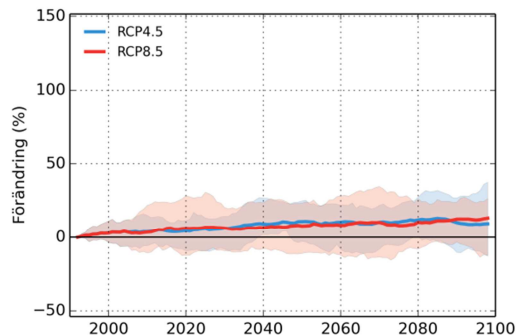


² Med vattenföring eller vattenflöde menas den mängd vatten per tidsenhet som rinner fram i ett vattendrag

Gothemsån



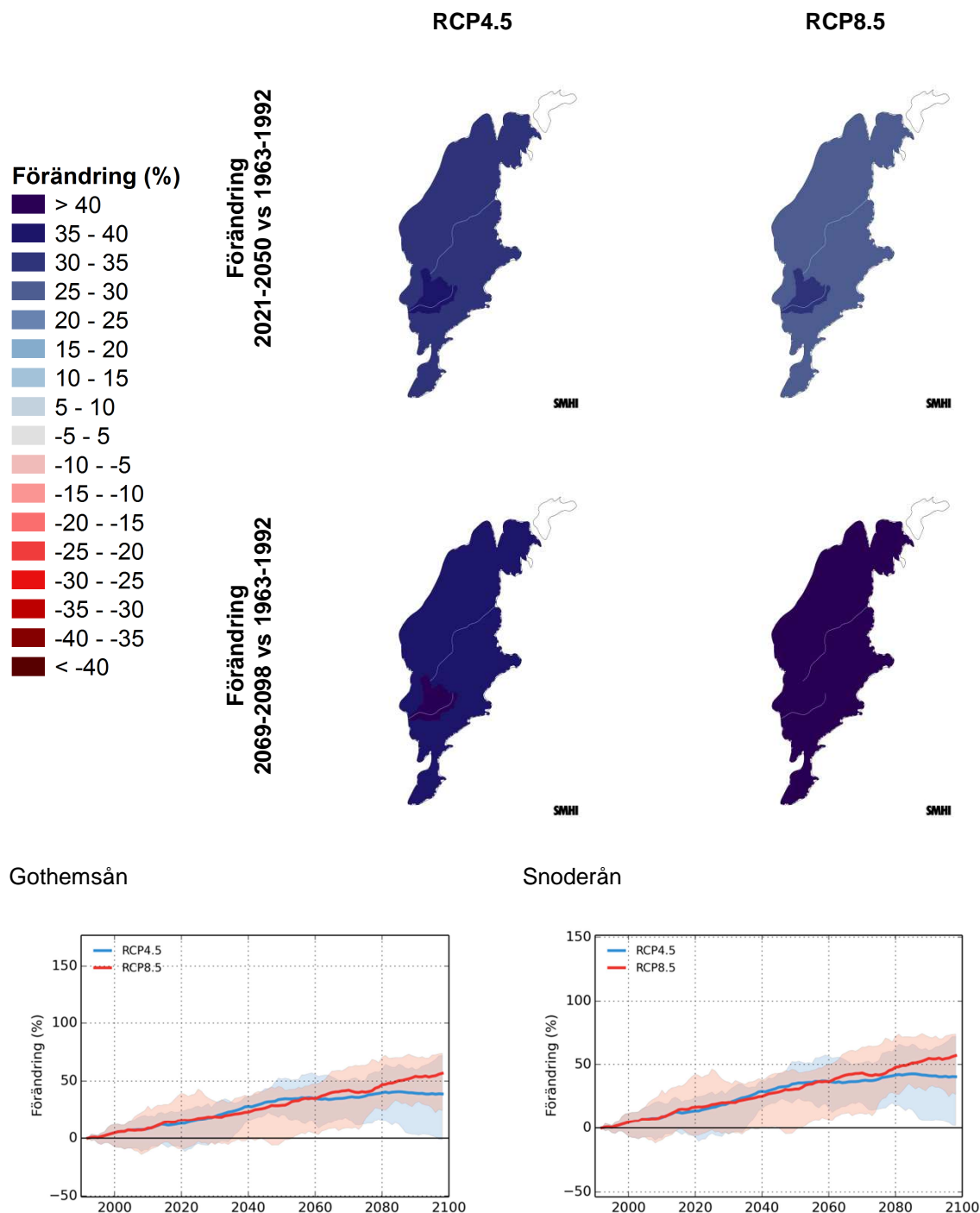
Snoderån



Den lokala årsmedeltillrinningen ökar något och uppnår mot slutet av seklet ca 20 % ökning jämfört med referensperioden.

7.2 Förändrad lokal medeltillrinning vinter

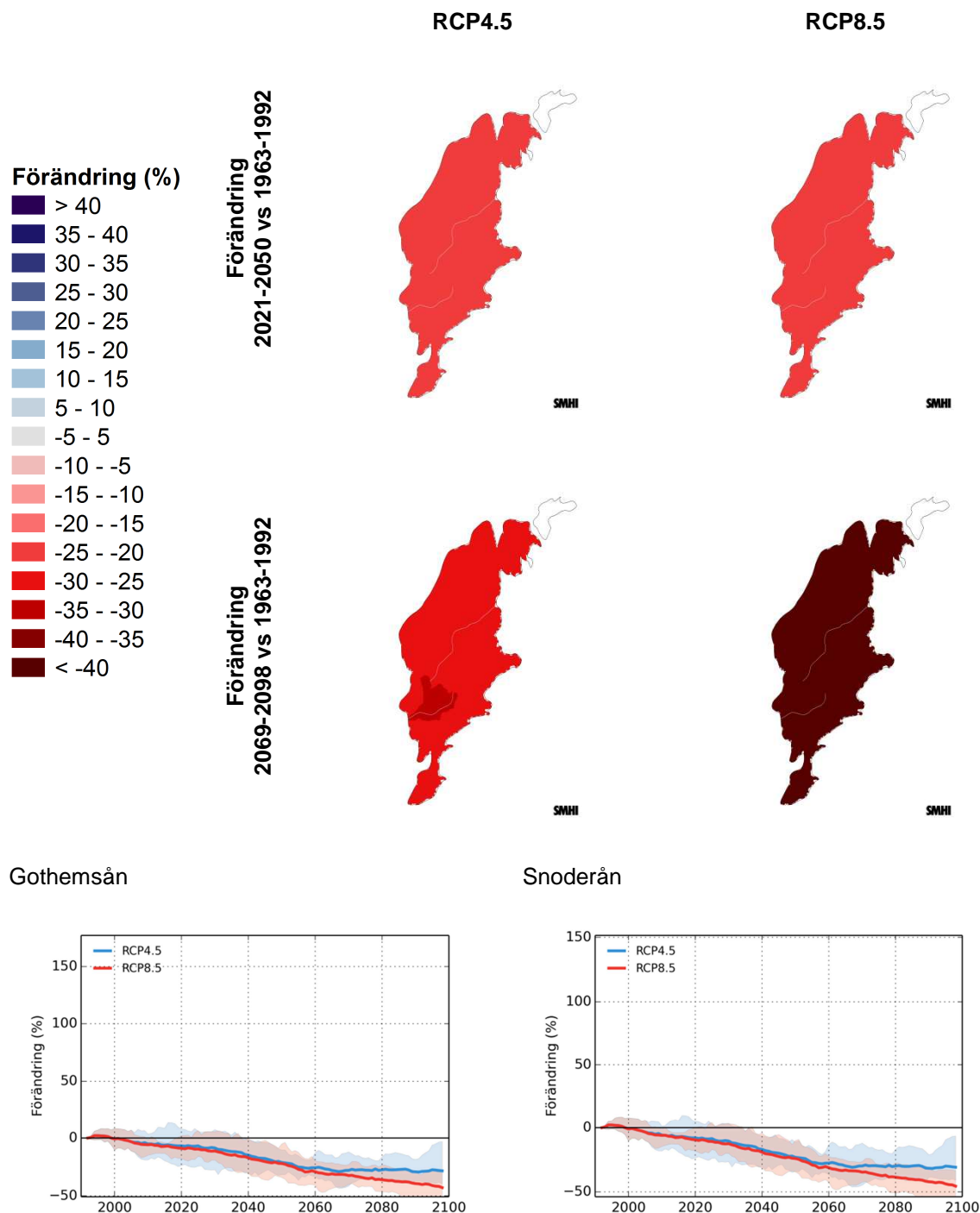
Kartorna visar den procentuella förändringen jämfört med medelvärdet för referensperioden. Indexet avser 30-årsmedelvärden av tillrinning under vintern, här definierad som perioden december-februari.



Den största förändringen av lokala tillrinningen sker liksom för den totala tillrinningen under vinterperioden. Scenarierna är samstämmiga och visar ökning med 40-60 % mot slutet av seklet.

7.3 Förändrad lokal medeltillrinning vår

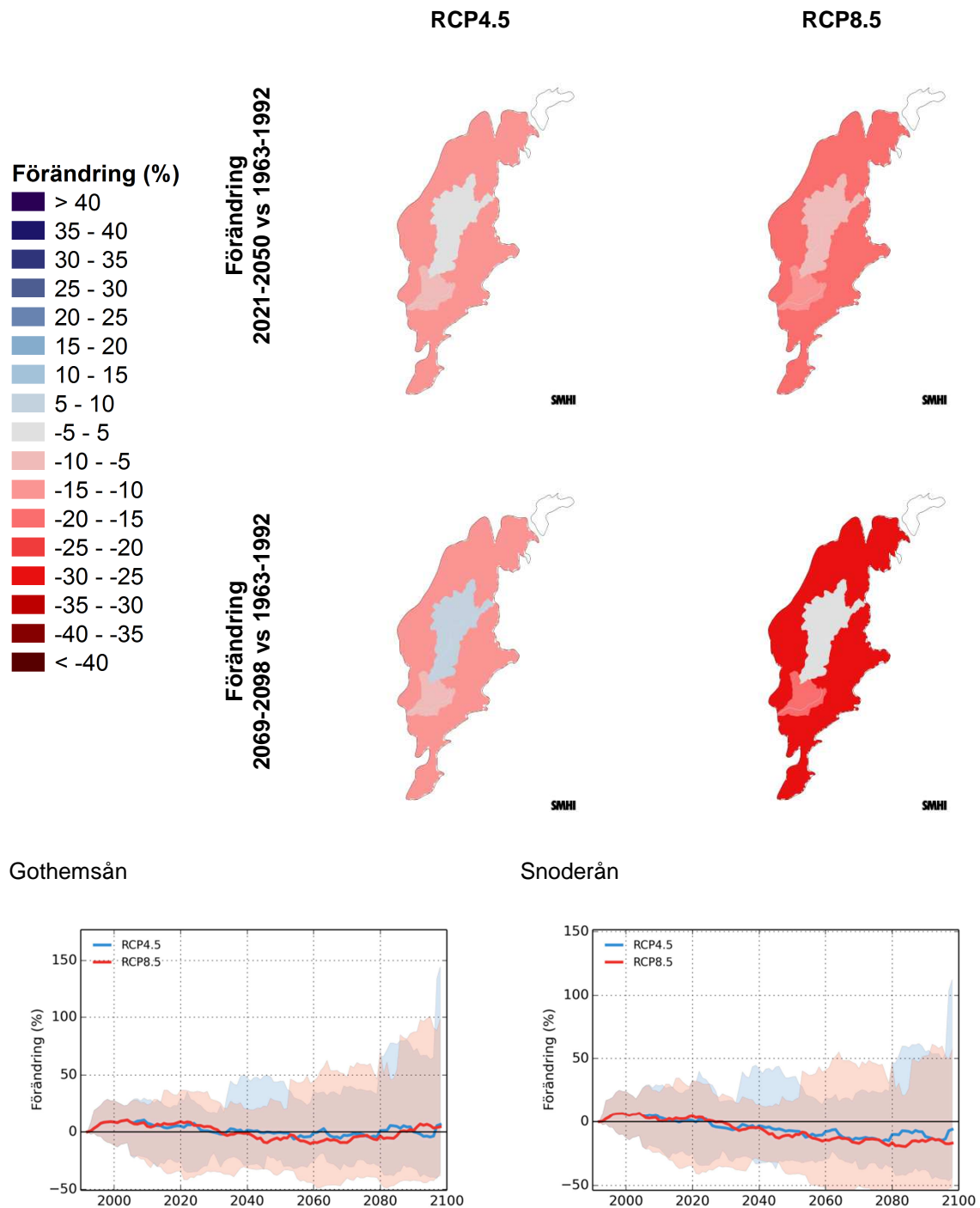
Kartorna visar den procentuella förändringen jämfört med medelvärdet för referensperioden. Indexet avser 30-årsmedelvärden av tillrinning under våren, här definierad som perioden mars-maj.



Den lokala tillrinningen under våren minskar och scenarierna visar samstämmigt på minskning med 30-40 % jämfört med referensperioden.

7.4 Förändrad lokal medeltillrinning sommar

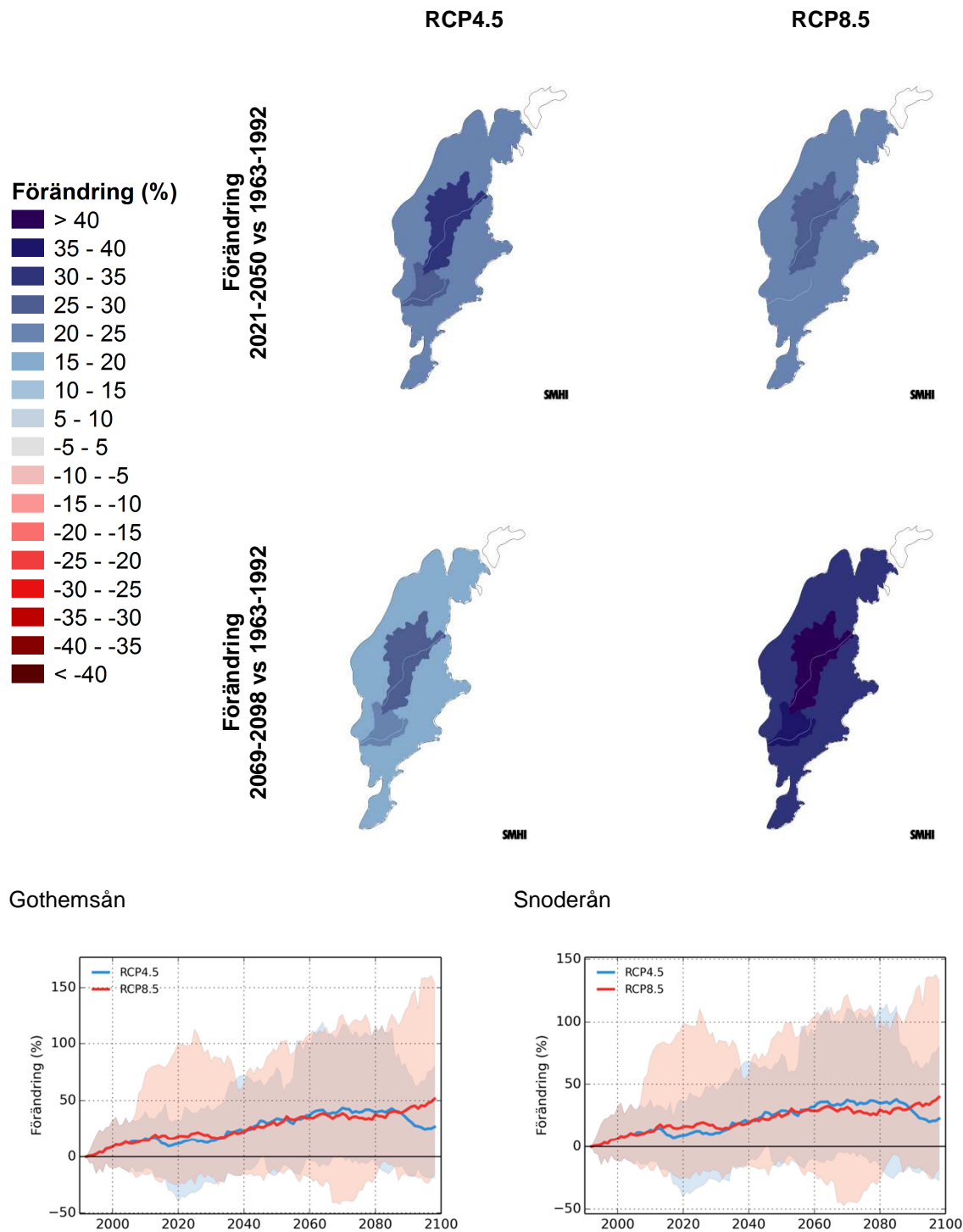
Kartorna visar den procentuella förändringen jämfört med medelvärdet för referensperioden. Indexet avser 30-årsmedelvärden av tillrinning under sommaren, här definierad som perioden juni-augusti.



För sommarperioden visar scenarierna minskad lokal tillrinning för större delen av länet. För de inre delarna ses i kartorna i princip ingen förändring. Det avspeglas i diagrammet för Gothemsån och vars avrinningsområde framträder i kartan.

7.5 Förändrad lokal medeltillrinning höst

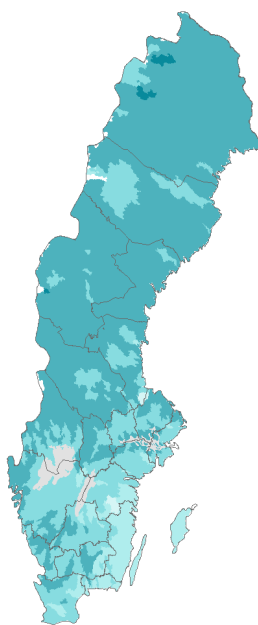
Kartorna visar den procentuella förändringen jämfört med medelvärdet för referensperioden. Indexet avser 30-årsmedelvärden av tillrinning under hösten, här definierad som perioden september-november.



För höstperioden kan ökad lokal tillrinning väntas för länet, dock lägre än för vintern.

7.6 Antal dagar med lågflöde

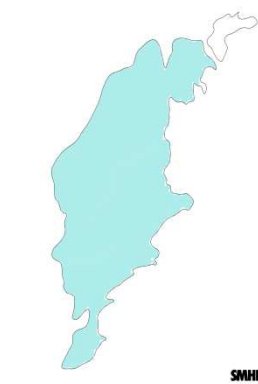
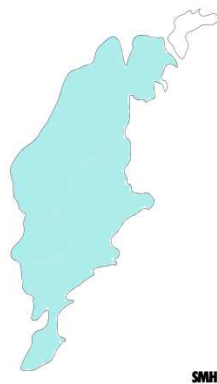
Beräknat 1961-1990



Antal dagar då tillrinningen är lägre än medellågtillrinningen för perioden 1963-1992. Medellågtillrinning beräknas som medelvärdet av varje års lägsta tillrinning under en 30-årsperiod. Indexet är intressant för långtidsplanering av vattentillgångar för dricksvatten och bevattning.

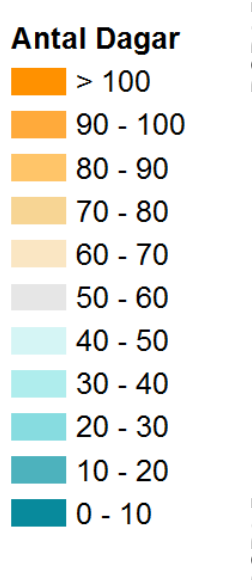
Beräknat 1961-1990

Beräknat 1991-2013

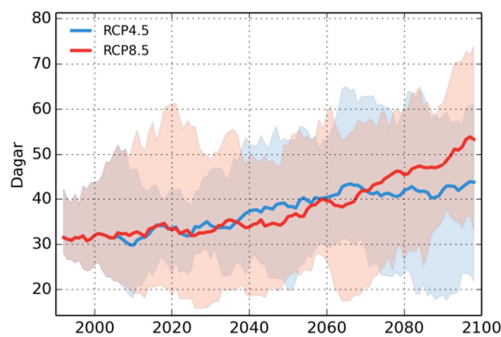


Beräknat 2021-2050

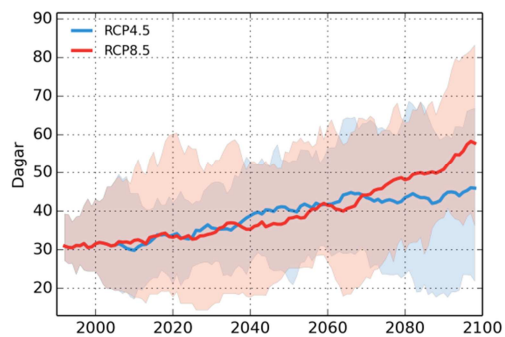
Beräknat 2069-2098



Gothemsån



Snoderån



Antalet dagar då tillrinningen är låg ökar. För Gothemsån från ca 30 till 40-50 beroende på scenario. Ökningen för Snoderån är något högre, 45-60.

8 Tillrinningens årsdynamik

Tillrinningen varierar mellan år och under året beroende på hur nederbörd, temperatur, snötäcke, markfuktighet och avdunstning varierar och samspelar. För vattendragen ses dock vanligen en återkommande dynamik under året. Förflyttningar i årstidsförloppen kan ha stor betydelse för vattenförsörjning, miljö och biologisk mångfald, översvämningsrisker och vattenkraftsproduktion.

I figurerna visas medelvärden för tillrinningens årsdynamik. Svart linje representerar referensperioden 1963-1992 och de två övriga linjerna representerar framtidsperioden 2069-2098. Blå linje visar medelvärden av beräkningar enligt RCP4.5 och röd linje representerar motsvarande för RCP8.5.

Vattendragen uppvisar för södra Sverige typiska drag, med hög vinter tillrinning och en relativt lång vegetationsperiod med låga flöden. En vårflödestopp i mars-april framgår även.

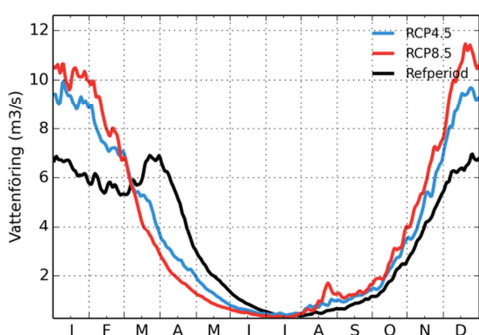
Framtidssceniarierna visar på högre vinterflöden och vårflödestopparna har förvunnit. Det beror på mer nederbörd under vintern och högre temperaturer gör att nederbörden inte lagras som snö utan rinner av vintertid. Därmed uteblir också vårflödestoppen.

Diagrammen visar även på en längre säsong med lägre flöden vilket kan kopplas till en längre vegetationsperiod. Växterna tar mer vatten och det når då inte vattendragen.

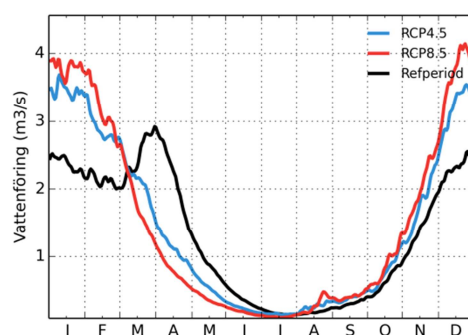
RCP8.5 ger högre vinter tillrinning och lägre sommartillrinning samt längre period med låg tillrinning än vad RCP4.5 ger.

Diagrammen visar medelvärden och därmed framträder de typiska dragen tydligare men variationen mellan år är stor.

Gothemsån

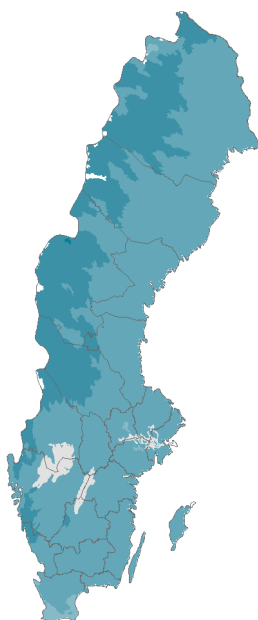


Snoderån



9 Markfuktighet

Beräknat 1961-1990



Antal dagar per år med låg markfuktighet. Indexet baseras på referensperiodens medelvärde av varje års längsta markfuktighet. Indexet kan ha intresse för långtidsplanering av bevattningsbehov och grödoval samt skogsbrandriskbedömning och skogsvårdsinsatser.

Beräknat 1961-1990



Beräknat 1991-2013



Beräknat 2021-2050

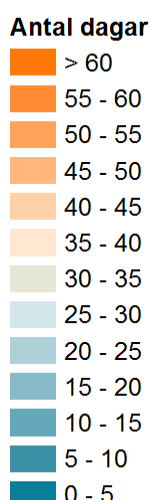


Beräknat 2069-2098

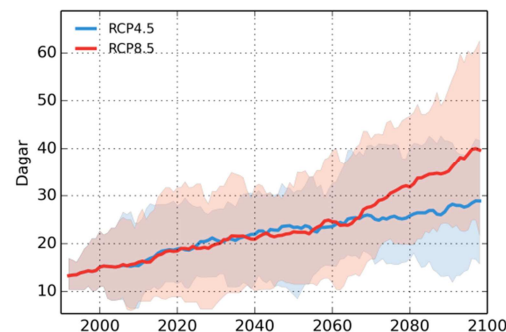


RCP4.5

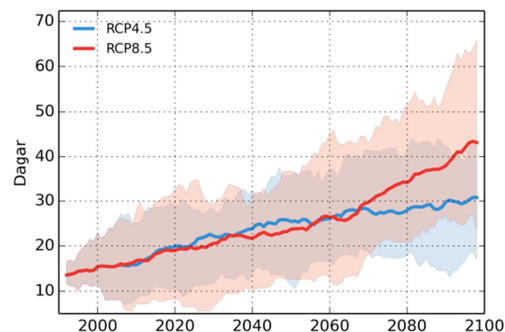
RCP8.5



Gothemsån



Snoderån



Perioden 1991-2013 har haft fler dagar med låg markfuktighet jämfört med 1961-1990. Denna tendens fortsätter under seklet och RCP4.5 visar en ökning med 30 dagar och RCP8.5 med 40 dagar vid seklets slut jämfört med referensperioden.

10 Slutsatser

Hur klimatet på Gotland utvecklas beror på hur användningen av fossila bränslen ser ut i framtiden, dvs. hur mycket mängden växthusgaser ökar i atmosfären. I rapporten har beräkningar med två olika utvecklingsvägar analyserats fram till seklets slut. Scenariot RCP4.5 beskriver en framtid med kraftfull klimatpolitik och stora utsläppsminskningar, men för scenariot RCP8.5 fortsätter utsläppen att öka.

Årsmedeltemperaturen på Gotland var för perioden 1961-1990 ca 6,8°C. Analyserna av framtida klimat visar en gradvis uppvärmning. I mitten på seklet visar båda RCP-scenarierna en uppvärmning på drygt 2 grader jämfört med perioden 1961-1990. I slutet av seklet visar RCP4.5 en uppvärmning på 3 grader medan RCP8.5 hamnar på nästan 5 grader. Störst uppvärmning väntas ske under sommaren, med drygt 5 grader enligt RCP8.5.

I och med uppvärmningen ökar **vegetationsperiodens** längd, för RCP4.5 med drygt 2 månader och för RCP8.5 ca 4 månader. **Värmeböljorna** förväntas också öka då antalet varma dagar blir fler. RCP8.5 visar ett årsmedelvärde på över 30 dagar i följd med dygnsmedeltemperaturer på över 20°C i slutet av seklet.

Behovet av uppvärmning minskar vilket betyder att antalet graddagar sjunker. Vid slutet av seklet visar RCP8.5 på ca 2400 och RCP4.5 på ca 2800 graddagar, att jämföra med dagens ca 3800. Ökande sommartemperaturer leder till ett visst kylbehov, enligt RCP8.5 är det ca 150 graddagar vid seklets slut.

En varmare atmosfär innebär högre avdunstning och snabbare cirkulation vilket ger mer nederbörd. Analyserna av **årsmedelnederbörd** bekräftar större regnmängder i det framtida klimatet, jämfört med referensperioden 1961-1990. Årsmedelnederbörden väntas öka med 20-30 % vid seklets slut. Den kraftiga nederbörden ökar också, maximal dygnsnederbörd kan öka med uppemot 25 % beroende på RCP-scenario. En ökning med 15-25 % beräknas för de årligen återkommande skurarna, med en timmes varaktighet.

För länet ses en ökning av den lokala vinter**tillrinningen** med uppemot 50 % vid slutet av seklet. Även under hösten ökar tillrinningen. För vår och sommar minskar tillrinningen. Tillrinning med **återkomsttid** 10 år respektive 100 år visar inga större förändringar.

Vattendragen uppvisar för södra Sverige typiska **årstidsförlopp**, med hög vintertillrinning och en relativt lång vegetationsperiod med låga flöden. Framtidsscenarierna visar på högre vinterflöden och vårflödestopparna har förvunnit. En längre säsong med lägre flöden är också att förvänta.

Antalet dagar med låg **markfuktighet** ökar i framtiden. Från dagens ca 15 dagar till 30-40 dagar, beroende på scenario, mot slutet av seklet.

Beskrivningen baseras på medelförhållanden men det är viktigt att komma ihåg att variationen mellan år kan vara stor, även i ett framtida klimat.

11 Tackord

Förutom rapportförfattarna har även Kristoffer Hallberg, Joel Dahné och Johan Andréasson bidragit till rapporten. Tack också till alla som deltog i arbetet med nedskalning av RCP-scenarierna.

12 Referenser

- Eklund A., Axén-Mårtensson J., Bergström S., Björck E., Dahné J., Lindström L., Nordborg D., Olsson J., Simonsson L. och Sjökvist E. 2015. Sveriges framtida klimat. Underlag till Dricksvattenutredningen. SMHI Klimatologi Nr 14.
<http://www.smhi.se/publikationer/publikationer/sveriges-framtida-klimat-underlag-till-dricksvattenutredningen-1.89524>
- ICONICS, 2013. Nakićenović N., Lempert R., and Janetos A (eds.). A Special Issue of Climatic Change journal on the Framework for the Development of New Socioeconomic Scenarios for Climate Change Research. <https://www2.cgd.ucar.edu/research/iconics/publications/ssps>
- IPCC 2001. Climate Change 2001: The Scientific Basis. Contribution of Working Group I to the Third Assessment Report of the Intergovernmental Panel on Climate Change. [Houghton, J.T., Ding, Y., Griggs, D.J., Noguer, M., van der Linden, P.J. Dai, X., Maskel, K. and Johnsen, C.A. (eds.)]. Cambridge University Press, Cambridge, United Kingdom and New York, NY, USA, 881 pp. http://www.grida.no/publications/other/ipcc_tar/
- IPCC 2007. Climate Change 2007: The Physical Science Basis. Contribution of Working Group I to the Fourth Assessment Report of the Intergovernmental Panel on Climate Change. [Solomon, S., D. Qin, M. Manning, Z. Chen, M. Marquis, K.B. Averyt, M. Tignor and H.L. Miller (eds.)]. Cambridge University Press, Cambridge, United Kingdom and New York, NY, USA, 996 pp. http://www.ipcc.ch/publications_and_data/ar4/wg1/en/contents.html
- IPCC 2013. Climate Change 2013: The Physical Science Basis. Contribution of Working Group I to the Fifth Assessment Report of the Intergovernmental Panel on Climate Change [Stocker, T.F., D. Qin, G.-K. Plattner, M. Tignor, S.K. Allen, J. Boschung, A. Nauels, Y. Xia, V. Bex and P.M. Midgley(eds.)]. Cambridge University Press, Cambridge, United Kingdom and New York, NY, USA, 1535 pp. <http://www.ipcc.ch/report/ar5/wg1/>
- Nakićenović N., and R. Swart (eds.) 2000. Special Report on Emissions Scenarios. A Special Report of Working Group III of the Intergovernmental Panel on Climate Change. Cambridge University Press, Cambridge, United Kingdom and New York, NY, USA, 599 pp.
<https://www.ipcc.ch/pdf/special-reports/spm/sres-en.pdf>
- Persson G., Strandberg G. och Berg P. 2015. Vägledning för användande av klimatscenarier. SMHI Klimatologi Nr 11. <http://www.smhi.se/klimatdata/framtidens-klimat/vagledning-klimatscenarier>
- Sjökvist E., Axén Mårtensson J., Dahné J., Köplin N., Björck E., Nylén L., Berglöv G., Tengdelius Brunell J., Nordborg D., Hallberg K., Södling J. och Berggreen-Clausen S. 2015. Klimatscenarier för Sverige – Bearbetning av RCP-scenarier för meteorologiska och hydrologiska effektstudier. SMHI Klimatologi Nr 15.
<http://www.smhi.se/publikationer/publikationer/klimatscenarier-for-sverige-bearbetning-av-rcp-scenarier-for-meteorologiska-och-hydrologiska-effektstudier-1.87248>

SMHIs publiceringar

SMHI ger ut sju rapportserier. Tre av dessa, R-serierna är avsedda för internationell publik och skrivs därför oftast på engelska. I de övriga serierna används det svenska språket.

Seriernas namn

RMK (Report Meteorology and Climatology)	1974
RH (Report Hydrology)	1990
RO (Report Oceanography)	1986
METEOROLOGI	1985
HYDROLOGI	1985
OCEANOGRAFI	1985
KLIMATOLOGI	2009

Publiceras sedan

I serien KLIMATOLOGI har tidigare utgivits:

- 1 Lotta Andersson, Julie Wilk, Phil Graham, Michele Warburton (University KwaZulu Natal) (2009)
Local Assessment of Vulnerability to Climate Change Impacts on Water Resources in the Upper Thukela River Basin, South Africa – Recommendations for Adaptation
- 2 Gunn Persson, Markku Rummukainen (2010)
Klimatförändringarnas effekter på svenska miljömålsarbete
- 3 Jonas Olsson, Joel Dahné, Jonas German, Bo Westergren, Mathias von Scherling, Lena Kjellson, Fredrik Ohls, Alf Olsson (2010)
En studie av framtida flödesbelastning på Stockholms huvudavloppssystem
- 4 Markku Rummukainen, Daniel J. A. Johansson, Christian Azar, Joakim Langner, Ralf Döscher, Henrik Smith (2011)
Uppdatering av den vetenskapliga grunden för klimatarbetet. En översyn av natur-vetenskapliga aspekter
- 5 Sten Bergström (2012)
Framtidens havsnivåer i ett hundraårsperspektiv – kunskaps sammanställning 2012
- 6 Jonas Olsson och Kean Foster (2013)
Extrem korttidsnederbörd i klimatprojektioner för Sverige
- 7 FNs klimatpanel – Sammanfattningsrapport för beslutsfattare. Effekter, anpassning och sårbarhet. Bidrag från arbetsgrupp 2 (WG 2) till den femte utvärderingen (AR 5) från Intergovernmental Panel on Climate Change, IPCC (2014)
- 8 Att begränsa klimatförändringar (2014)
(Ej publicerad)
- 9 Erik Kjellström SMHI. Reino Abrahamsson, Pelle Boberg. Eva Jernbäcker Naturvårdsverket. Marie Karlberg, Julien Morel Energimyndigheten och Åsa Sjöström SMHI (2014)
Uppdatering av det klimatvetenskapliga kunskapsläget
- 10 Risker och konsekvenser för samhället av förändrat klimat – en kunskapsöversikt (2014)
- 11 Gunn Persson (2015)
Vägledning för användande av klimatscenarier
- 12 Lotta Andersson, Anna Bohman, Lisa van Well, Anna Jonsson, Gunn Persson och Johanna Farelius (2015)
Underlag till kontrollstation 2015 för anpassning till ett förändrat klimat

13. Gunn Persson (2015)
Sveriges klimat 1860-2014. Underlag till Dricksvattenutredningen.
14. Anna Eklund (2015)
Sveriges framtida klimat. Underlag till Dricksvattensutredningen.
15. Elin Sjökvist, Jenny Axén Mårtensson, Joel Dahné, Nina Köplin, Emil Björck, Linda Nylén, Gitte Berglöv, Johanna Tengdelius Brunell, Daniel Nordborg, Kristoffer Hallberg, Johan Södbring, Steve Berggreen-Clausen (2015)
Klimatscenarier för Sverige - Bearbetning av RCP-scenarier för meteorologiska och hydrologiska effektstudier
16. Elin Sjökvist, Gunn Persson, Jenny Axén Mårtensson, Magnus Asp, Steve Berggreen-Clausen, Gitte Berglöv, Emil Björck, Linda Nylén, Alexandra Ohlsson och Håkan Persson (2015)
Framtidsklimat i Dalarnas län – enligt RCP-scenarier.
17. Linda Nylén, Magnus Asp, Steve Berggreen-Clausen, Gitte Berglöv, Emil Björck, Jenny Axén Mårtensson, Alexandra Ohlsson, Håkan Persson, Elin Sjökvist (2015)
Framtidsklimat i Värmlands län – enligt RCP-scenarier.
18. Gunn Persson, Magnus Asp, Steve Berggreen-Clausen, Gitte Berglöv, Emil Björck, Jenny Axén Mårtensson, Linda Nylén, Alexandra Ohlsson, Håkan Persson, Elin Sjökvist (2015)
Framtidsklimat i Örebro län – enligt RCP-scenarier.
19. Alexandra Ohlsson, Magnus Asp, Steve Berggreen-Clausen, Gitte Berglöv, Emil Björck, Anna Johnell, Jenny Axén Mårtensson, Linda Nylén, Håkan Persson, Elin Sjökvist (2015)
Framtidsklimat i Västmanlands län – enligt RCP-scenarier.
20. Elin Sjökvist, Magnus Asp, Steve Berggreen-Clausen, Gitte Berglöv, Emil Björck, Anna Johnell, Jenny Axén Mårtensson, Linda Nylén, Alexandra Ohlsson, Håkan Persson, (2015) Framtidsklimat i Uppsala län – enligt RCP-scenarier.
21. Magnus Asp, Steve Berggreen-Clausen, Gitte Berglöv, Emil Björck,
- Anna Johnell, Jenny Axén Mårtensson, Linda Nylén, Alexandra Ohlsson, Håkan Persson, Elin Sjökvist (2015)
Framtidsklimat i Stockholms län – enligt RCP-scenarier.
22. Magnus Asp, Steve Berggreen-Clausen, Gitte Berglöv, Emil Björck, Anna Johnell, Jenny Axén Mårtensson, Linda Nylén, Alexandra Ohlsson, Håkan Persson, Elin Sjökvist (2015)
Framtidsklimat i Södermanlands län – enligt RCP-scenarier.
23. Magnus Asp, Steve Berggreen-Clausen, Gitte Berglöv, Emil Björck, Anna Johnell, Jenny Axén Mårtensson, Linda Nylén, Alexandra Ohlsson, Håkan Persson, Elin Sjökvist (2015)
Framtidsklimat i Östergötlands län – enligt RCP-scenarier.
24. Gitte Berglöv, Magnus Asp, Steve Berggreen-Clausen, Emil Björck, Jenny Axén Mårtensson, Linda Nylén, Alexandra Ohlsson, Håkan Persson, Elin Sjökvist (2015)
Framtidsklimat i Västra Götalands län – enligt RCP-scenarier.
25. Alexandra Ohlsson, Magnus Asp, Steve Berggreen-Clausen, Gitte Berglöv, Emil Björck, Anna Johnell, Jenny Axén Mårtensson, Linda Nylén, Håkan Persson, Elin Sjökvist (2015)
Framtidsklimat i Jönköpings län – enligt RCP-scenarier.
26. Gunn Persson, Magnus Asp, Steve Berggreen-Clausen, Gitte Berglöv, Emil Björck, Jenny Axén Mårtensson, Linda Nylén, Alexandra Ohlsson, Håkan Persson, Elin Sjökvist (2015)
Framtidsklimat i Kalmar län – enligt RCP-scenarier.
27. Gitte Berglöv, Magnus Asp, Steve Berggreen-Clausen, Emil Björck, Jenny Axén Mårtensson, Linda Nylén, Alexandra Ohlsson, Håkan Persson, Elin Sjökvist (2015)
Framtidsklimat i Kronobergs län – Enligt RCP-scenarier.
28. Gunn Persson, Magnus Asp, Steve Berggreen-Clausen, Gitte Berglöv, Emil Björck, Jenny Axén Mårtensson, Linda Nylén, Alexandra Ohlsson, Håkan Persson, Elin Sjökvist (2015)
Framtidsklimat i Hallands län – enligt RCP-scenarier.

29. Alexandra Ohlsson, Magnus Asp,
Steve Berggreen-Clausen, Gitte
Berglöv, Emil Björck, Anna Johnell,
Jenny Axén Mårtensson, Linda Nylén,
Håkan Persson, Elin Sjökvist (2015)
Framtidsklimat i Skåne län – enligt
RCP-scenarier.
30. Alexandra Ohlsson, Magnus Asp,
Steve Berggreen-Clausen, Gitte
Berglöv, Emil Björck, Anna Johnell,
Jenny Axén Mårtensson, Linda Nylén,
Håkan Persson, Elin Sjökvist (2015)
Framtidsklimat i Blekinge län – enligt
RCP-scenarier.



Sveriges meteorologiska och hydrologiska institut
601 76 NORRKÖPING
Tel 011-495 80 00 Fax 011-495 80 01

ISSN 1654-2258